



## Kuzeybatı Anadolu'daki Bitümlü Şeyllerin Organik Jeokimyasal Özellikleri ve Çökelme Ortamları

*Organic Geochemical Characteristics and Depositional Environments of Oil Shales in Northwest Anatolia, Turkey*

Reyhan KARA GÜLBAY  
Sadettin KORKMAZ

KTÜ Jeoloji Mühendisliği Bölümü, 61080 Trabzon  
KTÜ Jeoloji Mühendisliği Bölümü, 61080 Trabzon

### Öz

Bu çalışmada, Kuzeybatı Anadolu'da Beypazarı, Seyitömer, Hımmetoğlu, Hatıdağ, Gölpazarı ve Bahçecik bölgelerinde yer alan Tertiye yaşı bitümlü şeyllerin organik jeokimyasal özellikleri ve çökelme ortamları incelenmiştir.

Bu sahalara ait bitümlü şeyller genel olarak yüksek HI ve düşük OI değerleri ile tipiktirler. Piroliz/TOK analiz sonuçlarına göre Beypazarı, Hımmetoğlu, Gölpazarı ve Bahçecik bitümlü şeyller Tip I kerojen, Seyitömer ve Hatıdağ bitümlü şeyller ise baskın olarak Tip I, az oranda da Tip II kerojen içermektedir.  $T_{max}$  değerleri, bütün sahalara ait bitümlü şeyllerin olgunlaşmadığını göstermektedir.

GC analizlerine göre, Beypazarı ve Seyitömer bitümlü şeyl örneklerinde sadece  $C_{17}$  ve  $C_{18}$  n-alkanlar kaydedilmiş, diğer n-alkanlar tespit edilememiştir. Hımmetoğlu, Hatıdağ, Gölpazarı ve Bahçecik bitümlü şeyl örneklerinde ise genellikle düşük numaralı n-alkanların daha baskın olduğu bimodal bir dağılım gözlenmiştir. Bu dağılım bitümlü şeyllerin baskın olarak algal ve daha az oranda karasal organik madde içerdigini göstermektedir. Pr/Ph oranına göre Beypazarı, Seyitömer ve Hatıdağ bitümlü şeyller anoksik, Hımmetoğlu, Gölpazarı ve Bahçecik bitümlü şeyller ise suboksik bir ortamda çökelmiştir.

GC-MS analizlerine göre, m/z 217 ve m/z 191 kütle kromatogramından hesaplanan biyomarker parametreleri bitümlü şeyllerin olgunlaşmamış organik madde içerdigini göstermektedir. Tuzluluğa işaret eden gamaseran, Beypazarı sahası hariç diğer bütün şeyl örneklerinde kaydedilmiştir. Diğer biyomarker parametreleri de dikkate alındığında, bitümlü şeyllerin tuzlu bir ortamda çökeldikleri ortaya çıkmaktadır. Genel olarak veriler, bitümlü şeyllerin gölgesel bir ortamda çökeldigini göstermektedir. Bununla birlikte, sadece Seyitömer bitümlü şeyller için kaydedilen iz mikardakı  $C_{16}$  steran denizel katkıya işaret etmekte ve bu zaman zaman denizel etkiye maruz kalan gölgesel bir çökelme ortamının varlığını ortaya koymaktadır.

**Anahtar Kelimeler:** KB Anadolu, bitümlü şeyl, TOK, kerojen, organik olgunluk, n-alkan, biyomarker.

### Abstract

*In this study, organic geochemical characteristics and depositional environments of the Tertiary aged oil shales in Beypazarı, Seyitömer, Hımmetoğlu, Hatıdağ, Gölpazarı and Bahçecik areas (NW Anatolia) have been examined.*

*The oil shales in all the studied areas have typically high HI and low OI values. Pyrolysis/TOC analysis results indicate that while Beypazari, Hımmetoğlu, Gölpazarı and Bahçecik oil shales contain only Type I kerogen, Seyitömer and Hatıdağ contain dominantly type I but includes minor amounts of Type II kerogen. Tmax values for these oil shales indicate that they are all immature.*

*Result of GC analyses of Beypazari and Seyitömer oil shales show only C<sub>17</sub> and C<sub>18</sub> n-alkanes but not show other n-alkanes. Gas chromatograms of Hımmetoğlu, Hatıdağ, Gölpazarı and Bahçecik shales show a bimodal distribution dominated with low number n-alkanes. Such a distribution indicates that these shales are composed predominantly of algal and minor amounts of terrestrial organic matter. Pr/Ph ratios of the shales suggest that an anoxic depositional environment for the Beypazari, Seyitömer and Hatıdağ shales, and a suboxic environment for the Hımmetoğlu, Gölpazarı and Bahçecik shales deposited.*

*The biomarker parameters calculated using m/z 217 and m/z 191 mass chromatograms obtained by GC-MS analysis indicate that the oil shales include immature organic matter. Gammacerane, a typical biomarker for saline depositional environment, has been determined for all oil shales except those from the Beypazari area. When other biomarker parameters are taken into account, it is apparent that all shales deposited in saline environments. In general, the data gained indicate lacustrine depositional environments for the oil shales in all the studied areas. However, trace amounts of C<sub>19</sub> sterane found in only shales from the Seyitömer area indicate marine input and suggest lacustrine depositional environment that was occasionally inundated by the sea.*

**Key Words:** NW Anatolia, oil shales, TOC, kerogen, organic maturity, n-alkane, biomarker

## 1. GİRİŞ

Türkiye, bitümlü şeyl yatakları bakımından oldukça zengin bir ülke olup, yaklaşık 1.6 milyar tonluk bir rezerve sahiptir. Bu çalışmada Türkiye'nin önemli bitümlü şeyl yataklarını içeren Tersiyer yaşı altı sahası incelenmiştir. Bu sahalar batı-kuzeybatı Anadolu bölgesinde, Beypazari (Ankara), Seyitömer (Kütahya), Hımmetoğlu ve Hatıdağ (Bolu), Gölpazarı (Bilecik) ve Bahçecik (İzmit) bölgelerinde yer almaktadır.

Bu bölgelerdeki bitümlü şeyl sahanının jeolojik ve ekonomik incelemesi bir çok araştırmacı tarafından değişik tarihlerde yapılmıştır. Buna karşılık organik jeokimyasal incelemeler çok daha azdır. Bu bitümlü şeyl yataklarından Bahçecik sahası Talu (1967), Gölpazarı sahası Yanılmaz ve diğ. (1980), Hımmetoğlu sahası Taka ve Şener (1988), Beypazari sahası Şener ve Şengüler (1991), Seyitömer sahası Şener ve Şengüler (1992a), Hatıdağ sahası Şener ve Şengüler (1992b) tarafından incelenmiştir. Ayrıca Şener ve diğ. (1994) Hımmetoğlu, Seyitömer, Beypazari ve Hatıdağ bitümlü şeyllerinin jeolojik, kimyasal ve ekonomik açıdan önemini araştırmışlardır. Sarı (1999) Hımmetoğlu sahasının, Özçelik (2002) Beypazari sahasının ve Kara

Gülbay (2004) ise KB Anadolu'daki tüm bitümlü şeyl yataklarının organik jeokimyasal özelliklerini incelemiştir.

Bu çalışmada ülkemiz açısından önem taşıyan altı sahanın ayrıntılı organik jeokimyasal özellikleri incelenmiş olup, bitümlü şeyllerin organik madde tipleri, olgunlukları, çökelleme ortamları ve koşulları, hidrokarbon potansiyeli araştırılmış ve bu sahaların birbirleriyle korelasyonları yapılmıştır.

Beypazari (Ankara), Seyitömer (Kütahya), Hımmetoğlu (Bolu) ve Hatıdağ (Bolu) sahanlarına ait bitümlü şeyl örnekleri bu sahalarında MTA tarafından yapılmış olan sondaj karotlardan alınmıştır. Gölpazarı (Bilecik) ve Bahçecik (İzmit) sahalarında ise stratigrafik kesitler ölçülüerek sistematik örneklemeye yapılmıştır.

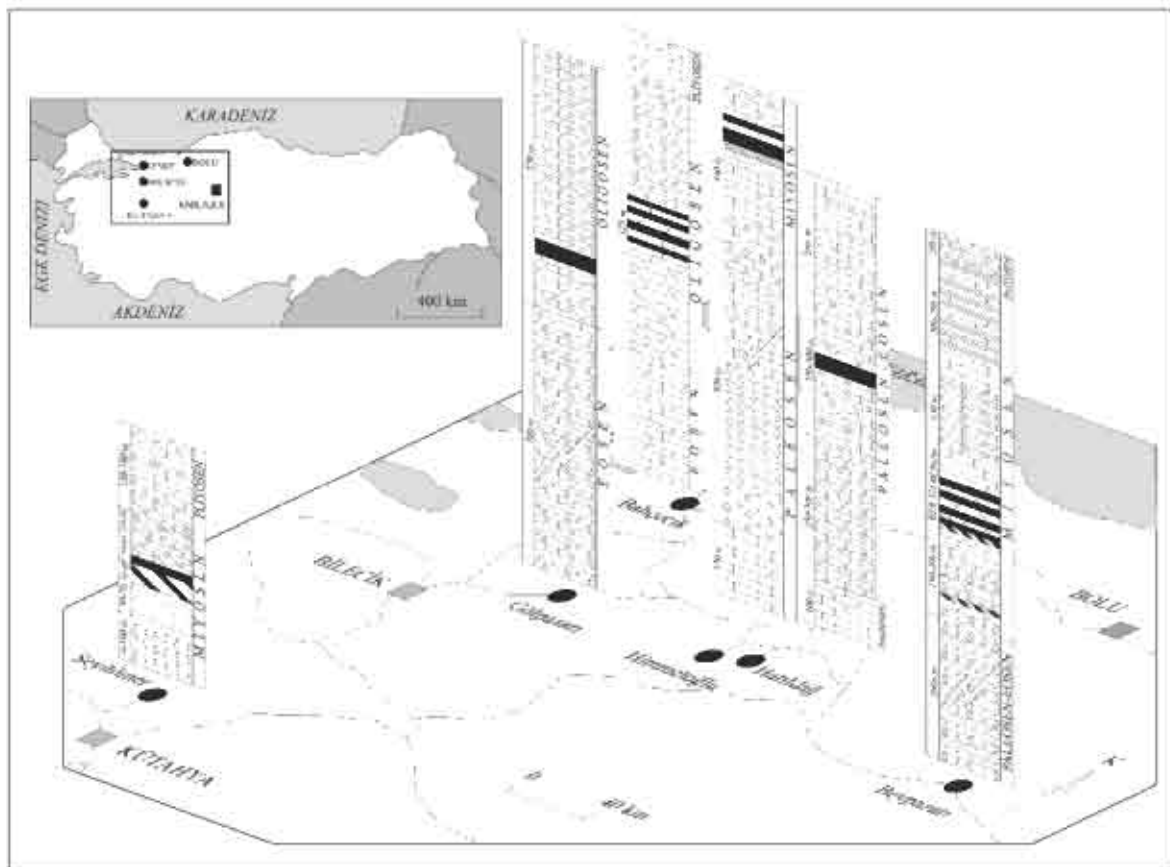
Seçilen bitümlü şeyl örnekleri üzerinde TPAO Araştırma Merkezi Organik Jeokimya Laboratuvarında Piroliz/TOK, Özütleme, Kolon Kromatografi, Gaz Kromatografi (GC) ve Gaz Kromatografi-Kütle Spektrometri (GC-MS) analizleri gerçekleştirilmiştir. Bu çalışmada Beypazari sahasından 8, Seyitömer sahasından 4 ve diğer sahalarдан 6'şar örnek olmak üzere seçilen 36 örneğin piroliz/TOK analizleri, 9 örneğin

özütleme analizi ve her sahadan 1 olmak üzere seçilen 6 örneğin hem GC ve hem de GC-MS analizleri yapılmıştır. Piroliz analizlerinde Rock-Eval-II cihazı, GC analizleri Varian 3400 kromatografi cihazı ve GC-MS analizleri de bir Trace 2000 GC ile donatılmış Finnigan MAT GCQ-Ion Trap aleti kullanılarak gerçekleştirilmiştir.

## 2. Genel Jeoloji

Bu çalışmada incelenen Beypazarı, Seyitömer, Hımmetoglu, Hatıdağ, Gölpaşarı ve Bahçecik bitümlü

şeyl sahaları, batı-kuzeybatı Anadolu bölgesinde yer alan ve birbirinden bağımsız çökelme havzalarıdır (Şekil 1). Bu sahalarda yer alan bitümlü şeyller Tertiyer yaşı istiflerle ardalanmalıdır (Şekil 1). Hatıdağ bitümlü şeylleri Paleosen-Eosen (Şener ve Şengüler, 1992b), Gölpaşarı-Bahçecik bitümlü şeylleri Oligosen (Talu, 1967; Yanılmaz ve diğ. 1980), Beypazarı-Seyitömer-Hımmetoglu bitümlü şeylleri Miyosen (Sarı, 1985; Taka ve Şener, 1988, Şener ve Şengüler, 1991; Şener ve Şengüler (1992a) yaşı çökeller içerisinde yer almaktadır.



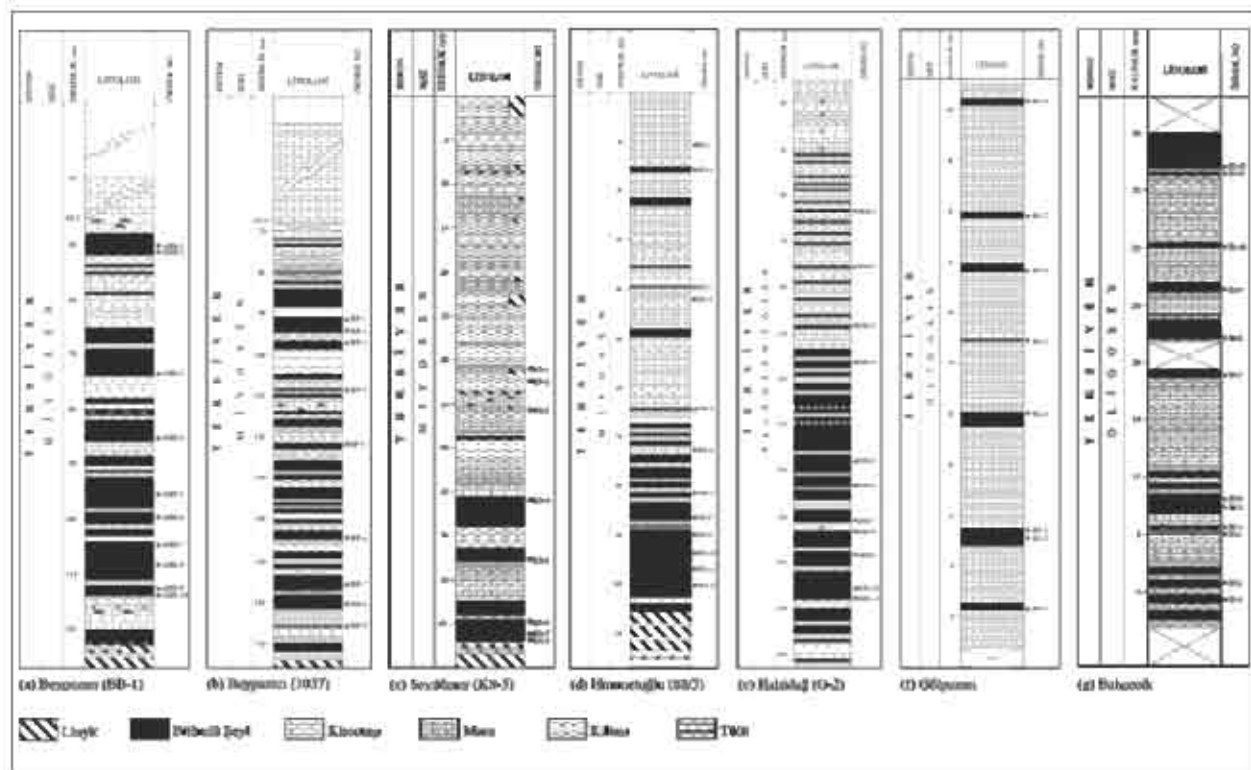
**Şekil 1.** Bitümlü şeyl sahalarına ait yer bulduru haritası ve bu sahalarda gözlenen Tertiyer yaşı istifler  
**Figure 1.** Location maps of the oil shale fields and Tertiary units observed in these areas

Beypazarı sahasının temelini Paleozoyik yaşı metamorfiter oluşturmaktadır. Bu temel kayaçları üzerine Tersiyer yaşı çökeller uyumsuzlukla gelmektedir. Bitümlü şeyl içeren istifin tabanında linyitler yer almaktadır. Bu sahadaki bitümlü şeyller kireçtaşı, marn, kilaş ve tüfitlerle ardalanmalıdır (Şekil 2-a,b). Bitümlü şeyller belirgin bir laminalanma ve yapraklama göstermeye olup, bazı seviyelerde flaser yaptı, bazı seviyelerde açık-koyu gri renkli lammaların ritmik ardalanması ve bazı seviyelerde ise homojen bir özellik göstermektedirler (Şekil 3-a). İstifin kalınlığı sondajlarda 57-111 metre arasında değişmektedir. Sahada 330 milyon ton bitümlü şeyl rezervi vardır.

Himmetoğlu ve Hatıdağ sahalarının temeli Üst Kretase yaşı kıritılı çökellerden oluşmaktadır. Himmetoğlu bitümlü şeyllerinin tabanında linyitli bir seviye yer alır. Bitümlü şeyl seviyeleri kilaş, tüfit, marn ve killi kireçtaşları ile ardalanmalı olarak bulunmaktadır (Şekil 2-d). Bitümlü şeyllerin renkleri açık-koyu gri olup, belirgin bir laminalanmaya sahiptirler (Şekil 3-c). Bitümlü şeylli istifin kalınlığı 88/3 sondajında 84 metre olarak ölçülmüştür. Himmetoğlu sahasında 660 milyon ton bitümlü şeyl rezervi vardır.

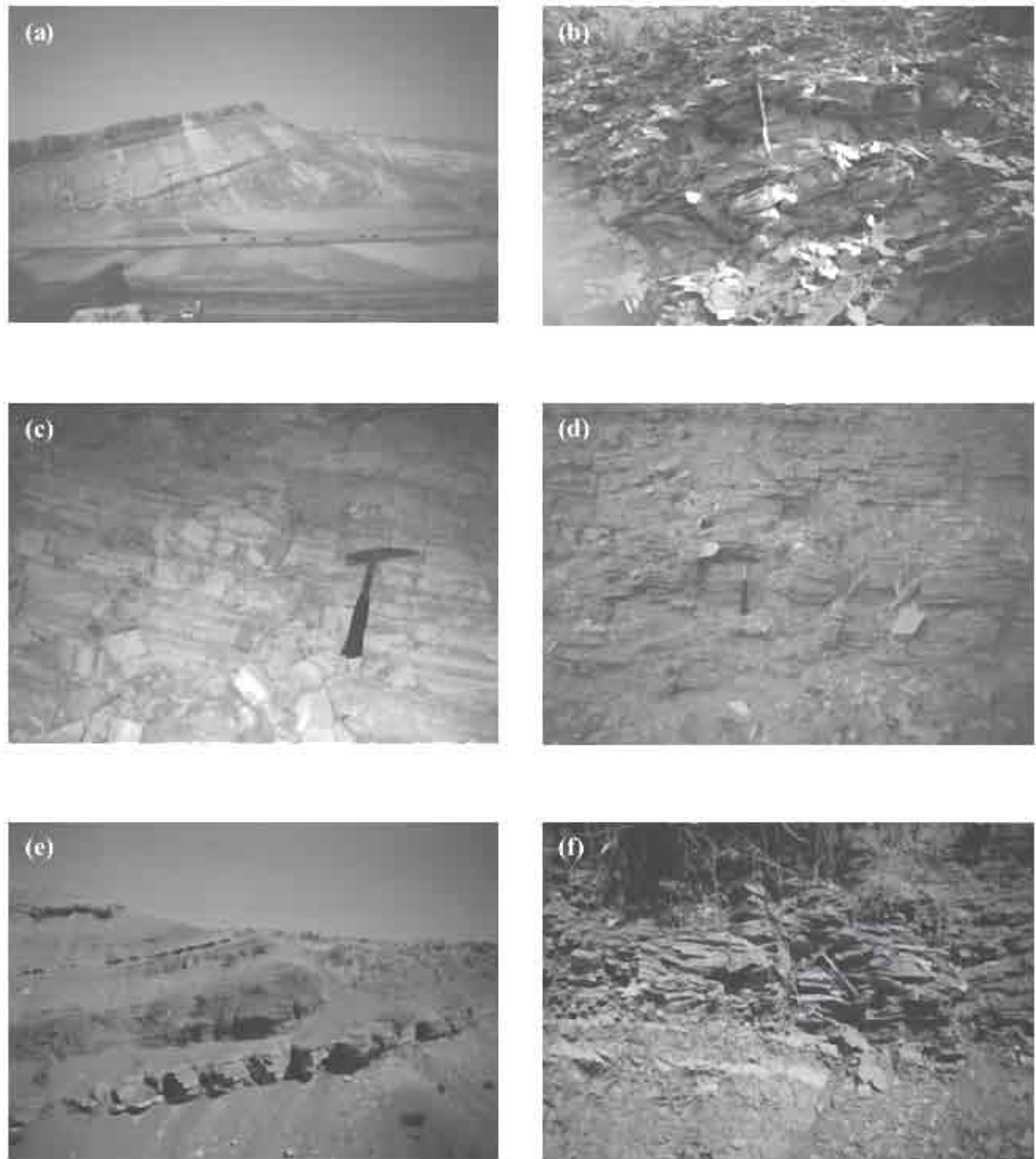
Hatıdağ sahasında yüzeyleyen bitümlü şeyli seviyeler kilaş, siltası ve marnlarla ardalanmalıdır (Şekil 2-e). Bitümlü şeyller kahverengi, kahvemsi-gri ve beyaz renklerde olup, genellikle açık ve koyu renklerin ardalandığı çok belirgin bir laminalanmaya sahiptirler (Şekil 3-d). Ayrıca belirgin bir yapraklanma, yer yer flaser yapıları ve mikroslamplar gözlenmiştir. Bu sahada yer alan bitümlü şeylli istifin kalınlığı yapılan sondajlara göre 26-120 m arasında değişmektedir. Bu sahada 360 milyon ton bitümlü şeyl rezervi vardır.

Gölpazarı sahasının temelini Jura kireçtaşları ve Üst Kretase kıritılı çökelleri oluşturmaktadır. Bitümlü şeyller genellikle kireçtaşı ve kumtaşı arabantaları içeren marnlarla ardalanmalı olarak bulunmaktadır (Şekil 2-f). Bu sahadaki bitümlü şeyller kahverengi-gri renklerde olup, belirgin bir laminalanma ve yapraklanma özelliği göstermezler (Şekil 3-e). Sahada bitümlü şeyl içeren istifin kalınlığı 46 m olarak ölçümüş ve kalınlıkları 20 cm ile 150 cm arasında değişen 7 adet bitümlü şeyl seviyesi tespit edilmiştir. Bu sahada 120 milyon ton bitümlü şeyl rezervi vardır.



Şekil 2. Bitümlü şeyl sahalarına ait sondaj ve kesit logları ile örnek yerleri

Figure 2. Sample location, well logs and measured sections of the oil shale units and selected shale samples



**Şekil 3.** Bitümlü şeylerin arazideki görünümleri; (a) Beypazari, (b) Seyitomer, (c) Hımmetoğlu, (d) Hatıldağ, (e) Gölpaşarı ve (f) Bahçecik

*Figure 3. Outcrops of oil shales: (a) Beypazari, (b) Seyitomer, (c) Hımmetoğlu, (d) Hatıldağ, (e) Gölpaşarı and (f) Bahçecik*

Bahçecik sahasının temeli Üst Kretase yaşı kireçtaşlarından oluşur. Sahadaki bitümlü şeyller tüfit, kiltaşı ve kireçtaşı arabantları içeren marnlarla ardalanmalıdır (Şekil 2-g). Bitümlü şeyller koyu kahve-siyah renkli, sert yapılı olup, belirgin bir yapraklanma ve laminalanma gösterirler (Şekil 3-f). Arazinin örtülü olmasından dolayı bitümlü şeyllerden sadece 38 m kalınlığında bir istif ölçülmüş ve kalınlığı 20 cm ile 250 cm arasında değişen bitümlü şeyl bantları tespit edilmiştir. Sahada yaklaşık 40 milyon ton bitümlü şeyl rezervi vardır.

### 3. Organik Jeokimyasal İncelemeler

#### 3.1. Toplam Organik Madde Miktarı ve Rock-Eval Piroliz Analizleri

Beypazarı, Seyitömer, Hımmetoğlu, Hatıdağ, Gölpazarı ve Bahçecik bitümlü şeyl örneklerinin toplam organik karbon (TOK) değerleri sırasıyla %1.85-18.1, 2.22-24.92, 3.02-35.58, 2.04-8.26, 2.06-10.34 ve 4.72-9.20 arasında değişmekte olup, ortalama değerler ise sırasıyla % 8.91, 9.17, 15.81, 4.75, 5.17 ve 7.15 olarak tespit edilmiştir (Tablo 1). Bu değerlerden de görüldüğü gibi Beypazarı, Seyitömer ve Hımmetoğlu bitümlü şeyl örneklerinin TOK değerleri geniş bir aralıktır değişim göstermektedir (Şekil 4). Diğer sahalara ait örnekler ise daha homojen bir TOK dağılımı göstermektedirler. Bu muhtemelen Beypazarı, Seyitömer ve Hımmetoğlu bitümlü şeylerinin oluşum ortamlarında organik madde zenginliğini etkileyebilecek faktörlerin diğer sahalara oranla daha çok değişim göstermesinden kaynaklanmaktadır.

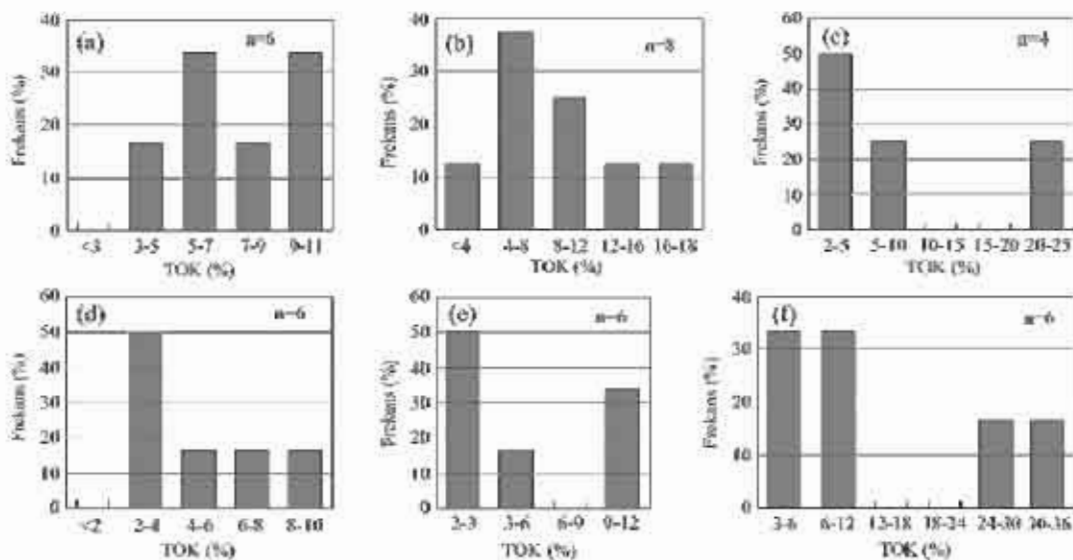
Piroliz analizi sonucunda elde edilen Hidrojen İndeksi (Hİ) değerleri bütün sahalara ait bitümlü şeyl örnekleri için oldukça yüksek, Oksijen İndeksi (Oİ) değerleri ise oldukça düşük olarak kaydedilmiştir. Beypazarı, Seyitömer, Hımmetoğlu, Hatıdağ, Gölpazarı ve Bahçecik bitümlü şeyllerine ait örneklerin ortalama Hİ değerleri sırasıyla 822, 648, 723, 720, 781, 812 mgHC/gTOK ve ortalama Oİ değerleri ise 30, 55, 39, 30, 43, 15 mgCO<sub>2</sub>/gTOK olarak belirlenmiştir.

Piroliz analizlerinden elde edilen S<sub>1</sub>, S<sub>2</sub> ve S<sub>3</sub> değerleri kullanılarak, kerogen tipi hakkında fikir veren S<sub>1</sub>/S<sub>2</sub> oranı, hidrokarbon potansiyeli hakkında fikir veren Potansiyel Ürün (PÜ; S<sub>1</sub>+S<sub>2</sub>) ve olgunluk hakkında fikir veren Üretim İndeksi (Üİ; [S<sub>1</sub>/(S<sub>1</sub>+S<sub>2</sub>)]) parametreleri hesaplanmıştır. Genel olarak S<sub>1</sub>/S<sub>2</sub> oranı ve Potansiyel Ürün değerleri yüksek, Üretim İndeksi değerleri ise düşük olarak hesaplanmıştır (Tablo 1).

Piroliz analizi ile ölçülen ve organik maddenin olgunluğu hakkında fikir veren T<sub>max</sub> değerleri (ortalama) Beypazarı, Seyitömer, Hımmetoğlu, Hatıdağ, Gölpazarı ve Bahçecik bitümlü şeyl örnekleri için sırasıyla 429, 423, 432, 436, 431 ve 442°C olarak hesaplanmıştır.

#### 3.2. Moleküler Bileşim

Farklı sahalardan seçilen 11 örnek üzerinde öztleme analizi gerçekleştirilmiş ve analiz sonuçları Tablo 2'de verilmiştir. Bitümlü şeyl örneklerinden öztleme yöntemiyle elde edilen bitüm TOK'a oranlanmış ve genel olarak düşük değerler elde edilmiştir (Tablo 2). Her sahadan birer olsmak üzere toplam 6 özütün doygun fraksiyonları üzerinde GC ve hem de GC-MS analizleri yapılmıştır.



**Şekil 4.** Toplam Organik Karbon (TOK) değerlerinin % dağılım grafikleri (n= örnek sayısı); (a) Bahçecik, (b) Beypazarı, (c) Seyitömer, (d) Hatıdağ, (e) Gölpazarı ve (f) Hımmetoğlu

**Figure 4.** Percentage distribution diagrams of total organic carbon values (n= sample number); (a) Bahçecik, (b) Beypazarı, (c) Seyitömer, (d) Hatıdağ, (e) Gölpazarı and (f) Hımmetoğlu

**Table I.** Rock-Eval Pyrolysis/TOK analiz sonuçları  
**Table I.** Results of Rock-Eval Pyrolysis/TOK analyses

Örnek No	Derinlik (m)	TOK (mg/g) <sup>a</sup>	S <sub>1</sub> mg/g <sup>b</sup>	S <sub>2</sub> mg/g <sup>c</sup>	S <sub>3</sub> mg/g <sup>d</sup>	Kesereş Tipi S <sub>2</sub> /S <sub>3</sub>	(PC) S <sub>1</sub> +S <sub>2</sub> mg/g <sub>e</sub>	(GI) S <sub>2</sub> /(S <sub>1</sub> +S <sub>2</sub> ) %	T <sub>max</sub> (°C)	Ölb. mg/g <sub>f</sub>	(OI) S <sub>2</sub> /TOK %	Karbon Karbos.
<b>BB-1 Sondajı (Beypaçar-Antakra)</b>												
ABB-1	50.35	1.85	2.16	14.37	1.13	12.72	16.53	0.13	428	776	61	0.48
ABB-4	85.6	18.01	7.54	145.84	6.41	22.75	153.38	0.05	438	809	35	5.23
ABB-5	95.5	6.47	7.70	54.02	1.69	31.96	61.72	0.12	433	834	26	1.33
ABB-6	99.65	8.95	5.61	76.11	1.58	48.17	81.72	0.07	426	850	17	2.44
ABB-8	108.2	5.98	3.33	53.54	1.40	38.24	56.87	0.05	437	895	23	1.25
ABB-10	113.9	7.92	6.04	62.43	1.88	33.21	68.47	0.09	411	788	23	2.22
<b>BP-7 Sondajı (Beypaçar-Antakra)</b>												
BP-2	94.3	12.58	6.36	115.8	3.88	29.85	122.16	0.05	437	913	30	2.5
BP-9	165.3	9.52	3.61	67.49	2.21	30.54	71.1	0.05	423	708	23	3.6
<b>Ortalama</b>	<b>8.91</b>	<b>5.29</b>	<b>73.7</b>	<b>2.52</b>	<b>30.93</b>	<b>78.99</b>	<b>0.08</b>	<b>429</b>	<b>822</b>	<b>30</b>	<b>2.34</b>	
<b>KS-5 Sondajı (Seydişehir-Kütahya)</b>												
KS-4	46	3.09	1.57	21.84	2.03	10.76	23.41	0.07	421	706	66	1.14
KS-5	52.8	6.46	3.34	42.46	3.14	13.52	45.8	0.07	425	657	48	2.65
KS-7	61.5	2.22	1.16	15.70	1.30	12.08	16.86	0.07	424	707	58	0.82
KS-8	62.5	24.92	14.28	130.49	12.07	10.81	114.77	0.10	421	523	48	12.86
<b>Ortalama</b>	<b>9.17</b>	<b>5.89</b>	<b>52.62</b>	<b>4.64</b>	<b>11.79</b>	<b>50.21</b>	<b>0.08</b>	<b>423</b>	<b>648</b>	<b>55</b>	<b>4.37</b>	
<b>BH-3 Sondajı (Himmetoğlu-Bolu)</b>												
BH-2	15.7	3.02	1.43	19.51	1.96	9.95	20.94	0.07	430	646	64	1.28
BH-5	64.5	5.85	1.89	45.54	2.18	20.89	47.43	0.04	436	778	37	1.90
BH-7	81.4	11.64	2.68	87.37	4.37	19.99	89.97	0.03	433	720	37	4.15
BH-8	86.5	35.58	14.30	287.21	9.33	30.78	301.51	0.05	433	807	26	10.46
BH-10	93.55	10.61	3.32	70.57	4.55	15.51	73.89	0.04	433	665	42	4.46
BH-12	100.3	28.14	15.73	194.93	8.15	23.92	210.66	0.07	424	692	28	10.59
<b>Ortalama</b>	<b>15.81</b>	<b>6.55</b>	<b>117.52</b>	<b>5.09</b>	<b>20.17</b>	<b>124.07</b>	<b>0.05</b>	<b>432</b>	<b>723</b>	<b>39</b>	<b>5.47</b>	
<b>G-2 Sondajı (Hattıdağ-Bolu)</b>												
BHD-1	58	2.04	0.94	12.54	0.93	13.48	13.48	0.07	427	614	45	0.92
BHD-4	121.5	2.53	0.23	18.66	0.87	21.45	18.89	0.01	442	737	34	0.96
BHD-5	166.05	8.26	1.06	62.96	1.49	42.26	64.02	0.02	441	762	18	2.93
BHD-7	191.6	6.48	2.27	58.88	1.12	52.57	61.15	0.04	440	908	17	1.39
BHD-9	207	3.84	0.46	13.64	1.34	10.18	14.1	0.03	427	355	34	2.67
BHD-10	221	5.36	2.80	50.52	1.81	27.91	53.32	0.05	437	942	33	0.92
<b>Ortalama</b>	<b>4.75</b>	<b>1.29</b>	<b>36.2</b>	<b>1.26</b>	<b>27.98</b>	<b>37.49</b>	<b>0.04</b>	<b>436</b>	<b>720</b>	<b>30</b>	<b>1.63</b>	
<b>Gölpaçar (Bilecik İlçesi) stratigrafik kesiti</b>												
BG-8	44.7	3.21	0.63	23.46	1.60	14.66	24.09	0.03	432	738	49	1.21
BG-7	35.6	2.54	0.77	20.36	0.77	26.44	21.13	0.04	428	801	30	0.78
BG-6	31.25	2.06	0.53	14.00	1.38	10.14	14.53	0.04	426	679	66	0.85
BG-4	20	10.16	3.56	92.04	2.82	32.64	95.6	0.04	442	905	27	2.2
BG-2	10.15	10.34	3.25	83.33	3.13	26.62	86.58	0.04	435	805	30	3.13
BG-1	4.55	2.71	1.15	20.79	1.44	14.44	21.94	0.05	420	767	53	0.89
<b>Ortalama</b>	<b>5.17</b>	<b>1.65</b>	<b>42.33</b>	<b>1.86</b>	<b>26.82</b>	<b>43.98</b>	<b>0.04</b>	<b>431</b>	<b>781</b>	<b>43</b>	<b>1.51</b>	
<b>Bahçecili (İzmit İlçesi) stratigrafik kesiti</b>												
IB-12	33.5	6.26	1.73	46.82	1.20	39.02	48.55	0.04	446	747	19	2.22
IB-8	21.7	7.24	2.49	58.90	0.85	68.82	68.99	0.04	443	808	11	2.16
IB-7	19.1	9.19	2.37	66.94	1.75	38.25	69.31	0.03	436	728	19	3.42
IB-5	9.9	9.20	2.51	76.35	1.13	67.57	78.86	0.03	442	829	12	2.63
IB-2	4.6	6.27	1.30	57.31	0.78	73.47	58.81	0.03	448	914	12	1.37
IB-1	3.4	4.72	0.71	40.00	0.86	46.51	48.71	0.02	444	847	18	1.33
<b>Ortalama</b>	<b>7.15</b>	<b>1.89</b>	<b>57.65</b>	<b>1.10</b>	<b>55.61</b>	<b>59.54</b>	<b>0.03</b>	<b>442</b>	<b>812</b>	<b>15</b>	<b>2.19</b>	

### 3.2.1. n-alkanlar ve İzoprenoidler

Seyitömer ve Beypazarı bitümlü şeyl örneklerine ait gaz kromatogramlarında yalnızca  $C_{17}$  ve  $C_{18}$  n-alkanlar kaydedilmiştir (Şekil 5-a,b). Gaz kromatogramlarında baskın olarak izoprenoidler bulunmaktadır. Biomarker bölgesinde belirgin bir pik yoğunluğu gözlenmektedir.

**Tablo 2.** Bitümlü şeyl örneklerinden elde edilen toplam özüt miktarları ve Bitüm/TOK oranları

*Table 2. Amount of extractable bitumen and total organic carbon (TOC) and bitumen/TOC ratios of selected oil shale samples*

Saha Adı	Örnek No	Toplam Özüt (%)	TOK (%)	Bitüm TOK
Beypazarı	ABB-4*	0.45	18.01	0.025
Beypazarı	ABB-5	0.75	6.47	0.116
Seyitömer	KS-4	0.20	3.09	0.065
Seyitömer	KS-5	0.20	6.46	0.031
Seyitömer	KS-7	0.0833	2.22	0.038
Seyitömer	KS-8*	0.8857	24.92	0.036
Himmetoğlu	BH-2	0.1143	3.02	0.039
Himmetoğlu	BH-10*	0.25	10.61	0.024
Hatıdağ	BHD-10*	0.3545	5.36	0.066
Gölpazarı	BG-4*	0.348	10.16	0.034
Bahçecik	İB-8*	0.528	7.24	0.073

\*GC ve GC-MS analizi yapılan örnekler

Himmetoğlu, Hatıdağ, Gölpazarı ve Bahçecik bitümlü şeyl örneklerinden elde edilen özütlerin gaz kromatogramlarında genellikle düşük karbon numaralı

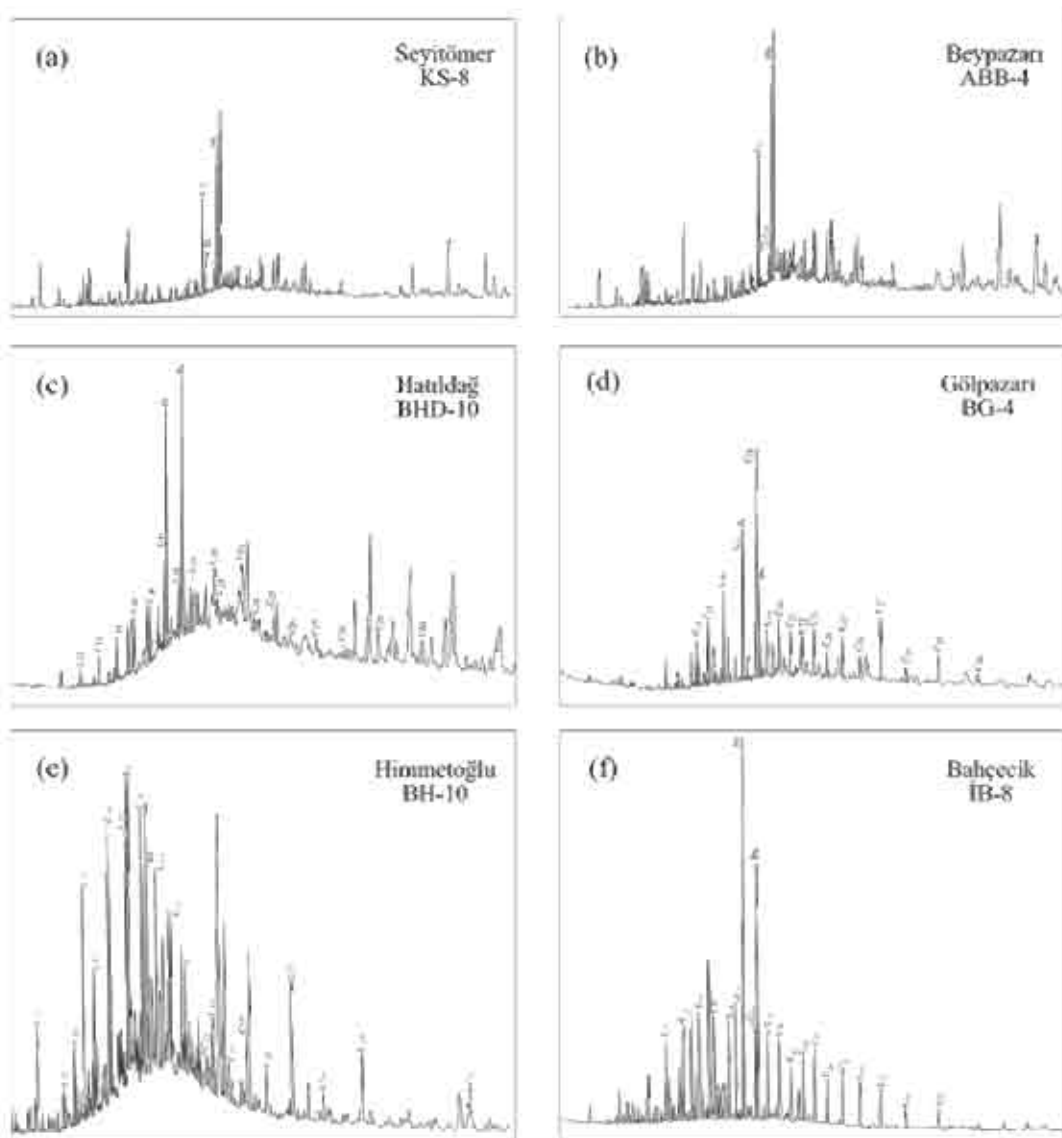
n-alkanların baskın olduğu bimodal bir dağılım gözlenmektedir (Şekil 5-c,d,e,f). Gölpazarı ve Himmetoğlu bitümlü şeyllerine ait gaz kromatogramlarında maksimum n-alkan pikini  $C_{18}$ 'in oluşturduğu ve  $C_{18}$  ile  $C_{22}$  merkezli bimodal bir dağılım söz konusudur (Şekil 6-d,e). Hatıdağ ve Bahçecik bitümlü şeyllerine ait gaz kromatogramlarında ise maksimum n-alkan pikini  $C_{17}$  oluşturmaktır ve  $C_{17}$  ile  $C_{22}$  merkezli bimodal bir dağılım gözlenmektedir (Şekil 6-c,f). Himmetoğlu ve Hatıdağ bitümlü şeyl örneklerine ait gaz kromatogramında baskın pikleri n-alkanlar oluşturmaktır ve izoprenoidler de yaygın olarak gözlenmektedir. Gölpazarı ve Bahçecik bitümlü şeyl örneklerine ait gaz kromatogramlarında ise n-alkanlar baskın pikleri oluşturmaktadır. Genel olarak bakıldığından da bu dört sahaya ait gaz kromatogramlarında da düşük karbon numaralı n-alkanların baskın olduğu bimodal bir dağılım söz konusudur (Şekil 6).

Himmetoğlu, Hatıdağ, Gölpazarı ve Bahçecik bitümlü şeyl örneklerinin gaz kromatogramlarından  $C_{24}$ - $C_{34}$  ve  $C_{22}$ - $C_{30}$  aralığı için Karbon Tercih İndeksi (CPI) değerleri hesaplanmış ve tek-çift numaralı n-alkan baskınılığı belirlenmiştir (Tablo 3). CPI değerleri bütün örnekler için belirgin olarak 1'den yüksek olup, bu durum tek numaralı n-alkanların baskın olduğunu göstermektedir.

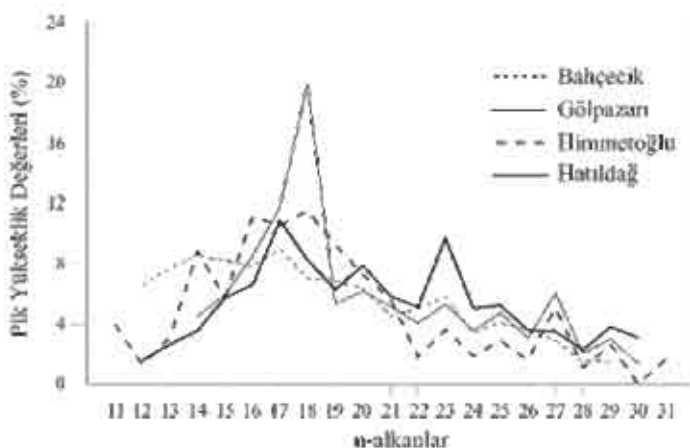
Pristan/Fitan (Pr/Ph) oranları Peypazarı, Seyitömer, Himmetoğlu, Hatıdağ, Gölpazarı ve Bahçecik bitümlü şeyl örnekleri için sırasıyla 0.14, 0.17, 1.47, 0.93, 1.54 ve 1.52 olarak hesaplanmıştır (Tablo 3). Ayrıca izoprenoid/n-alkan oranları da hesaplanmış ve Tablo 3'de verilmiştir.

**Tablo 3.** Bitümlü şeyllerin Pr/Ph oranı, İzoprenoid/n-alkan oranı ve CPI değerleri  
*Table 3. Pr/Ph, isoprenoid/n-alkanes ratios and CPI values of selected oil shale samples*

Saha Adı	Örnek No	Pr/Ph	Pr/n-C <sub>17</sub>	Ph/n-C <sub>18</sub>	CPI ( $C_{24}$ - $C_{34}$ )	CPI ( $C_{22}$ - $C_{30}$ )
Beypazarı	ABB-4	0.14	0.23	7.73	-	-
Seyitömer	KS-3	0.17	0.24	7.8	-	-
Himmetoğlu	BH-10	1.47	1.2	0.81	3.6	1.55
Hatıdağ	BHD-10	0.93	2.38	4.83	2.29	1.48
Gölpazarı	BG-4	1.54	1.15	0.43	1.76	1.68
Bahçecik	İB-8	1.52	3.38	2.82	1.36	1.31



**Şekil 5.** Bitümlü şeyl örneklerine ait gaz kromatogramları  
**Figure 5.** Gas chromatograms of the oil shale samples



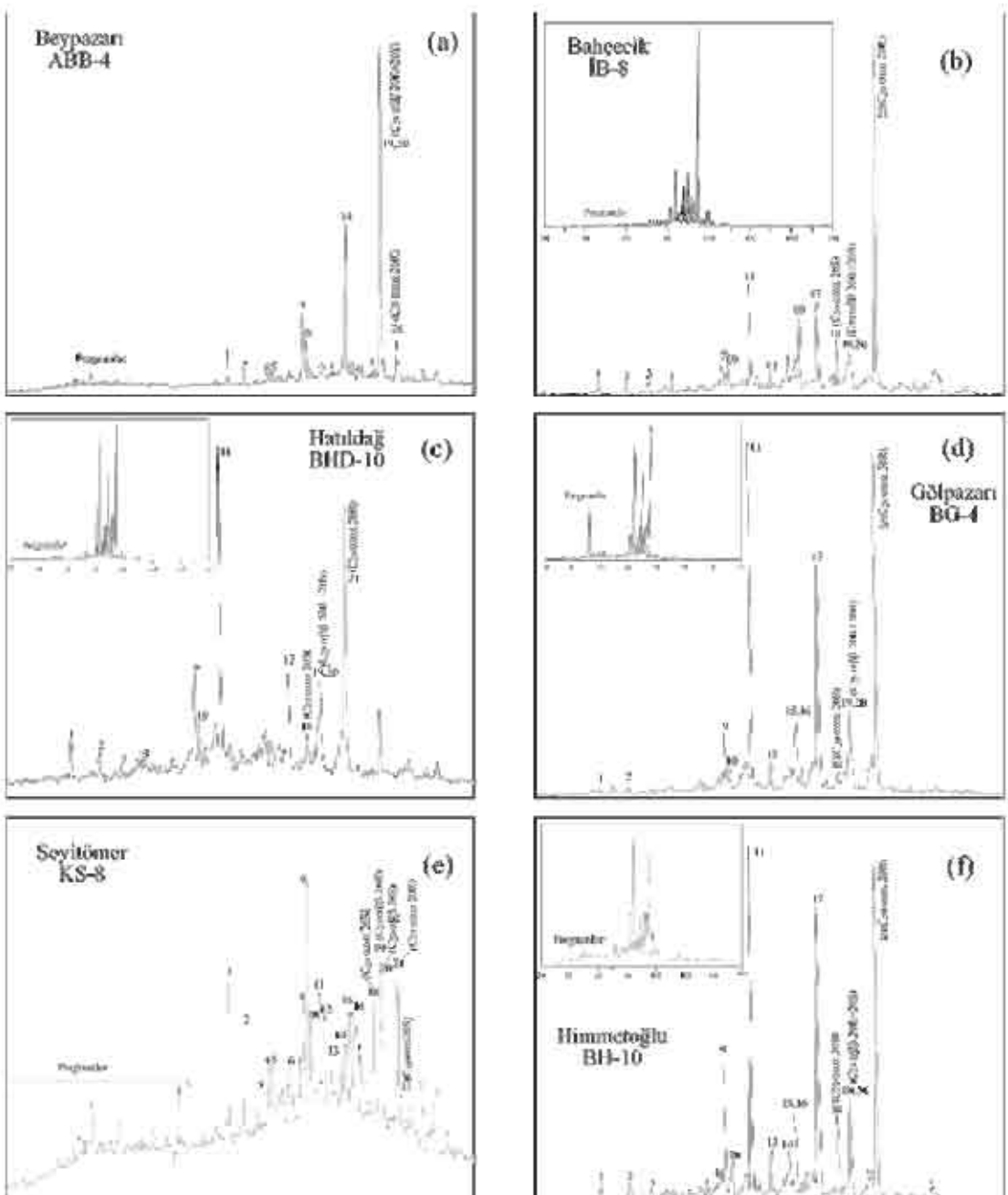
**Şekil 6.** Bitümlü şeyl örneklerine ait n-alkan % dağılım grafikleri

**Figure 6.** n-alkanes distributions (%) of the oil shale samples

### 3.2.2. Biyomarkerler

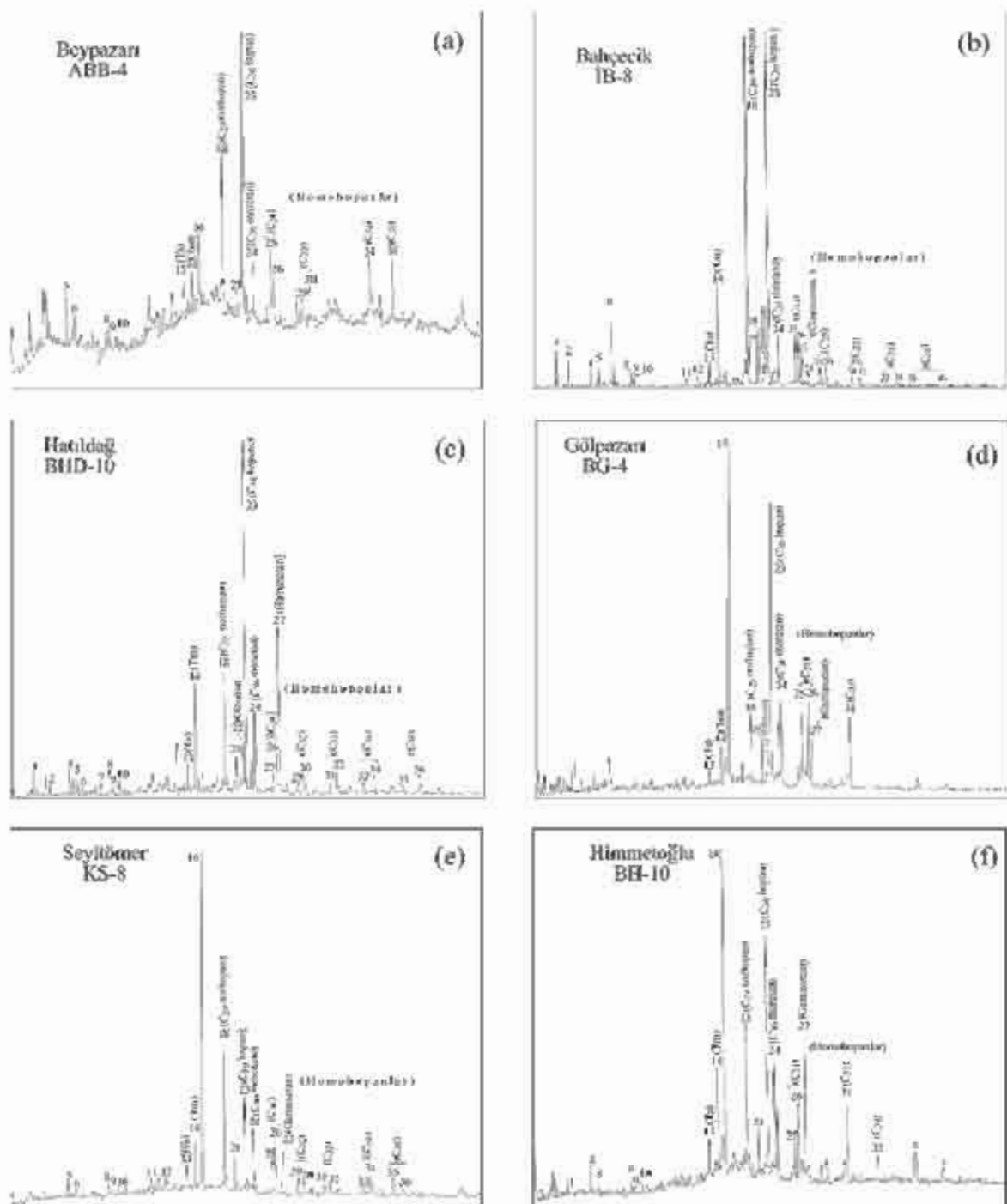
Altı ayrı sahadan seçilen birer örnek üzerinde (ABB-4, KS-8, BH-10, BHD-10, BG-4 ve IB-8) GC-MS analizi uygulanarak steran ( $m/z$  217) ve triterpan ( $m/z$

191) dağılımları tespit edilmiştir. Farklı sahalara ait bitümlü şeyl örneklerinin steran ve triterpan dağılımlarını içeren  $m/z$  217 ve  $m/z$  191 kütle kromatogramları Şekil 7 ve 8'de; kromatogramlarda kaydedilen pikler Tablo 4 ve 5'de tanımlanmıştır.



Şekil 7. Bitümlü şeyl örneklerine ait  $m/z$  217 kütle kromatogramları

Figure 7. The  $m/z$  217 mass chromatograms of oil shales (for peak definition see Table 4).



Steran ve triterpan dağılımları kullanılarak organik maddenin değişik özelliklerini tespit etmede kullanılan bir çok biyomarker parametresi elde edilmiştir (Tablo 6). Genel olarak farklı sahalara ait steran dağılımlarına bakıldığında Bahçecik ve Beypazarı bitümlü şeyllerinde  $C_{29}$ 'un belirgin bir farkla baskın steran olduğu gözlenmektedir. Hımmetoğlu, Hatıdağ, Gölpazari ve Seyitömer bitümlü şeyllerinde ise baskın steran olarak  $C_{27}$  gözlenmekte, fakat  $C_{29}$  steran  $C_{27}$ 'ye yakın değerler göstermektedir. m/z 217 kütle kromatogramlarında  $C_{27}$  steranların diasteranlarla birlikte kaydedildiği hesaba katılırsa bu bitümlü şeyllerde  $C_{29}$  steranın muhtemelen biraz daha baskın olduğu sonucuna varılabilir.  $C_{30}$  steran yalnızca Seyitömer bitümlü şeyller için iz miktarda kaydedilmiş (Şekil 7-c), diğer sahalara ait m/z 217 kütle kromatogramlarında ise  $C_{30}$  steran kaydedilmemiştir. Beypazarı ve Seyitömer bitümlü şeyllerinde iso steranlar, normal ve yeniden düzenlenmiş steranlara göre baskınken, Hımmetoğlu, Hatıdağ, Gölpazari ve Bahçecik bitümlü şeyllerinde ise normal steranlar çok yüksek ve yeniden düzenlenmiş steranlar ise oldukça düşük oranlara sahiptir. Diasteran/steran oranları genellikle çok düşüktür (Tablo 6). Yalnız Seyitömer bitümlü şeyllerinde diasteranlar yaygın olarak gözlenmektedir.

m/z 191 kütle kromatogramlarında bütün sahalara ait bitümlü şeyllerin düşük konsantrasyonlarda trisiklik terpan içerdikleri ve özellikle Bahçecik ve Gölpazari bitümlü şeyilleri haricindeki sahalar için düşük numaralı trisiklik terpanların ( $C_{19}$ ,  $C_{20}$ ) hiç kaydedilmediği görülmüştür. Bütün sahalara ait bitümlü şeyl örneklerinde Tm ( $C_{27}$ ,  $17\alpha(H)-22,29,30$ -Trisnorhopan), Ts ( $C_{27}$ ,  $18\alpha(H)-22,29,30$ -Trisnorneohopan)'ye göre daha baskın olarak bulunmaktadır. Seyitömer bitümlü şeyl örneğinde  $C_{19}$  norhopan,  $C_{10}$  hopana göre bol olarak bulunmakta ve diğer sahalara ait örneklerde  $C_{30}$  hopan daha baskın olarak bulunmaktadır. Oleanan Hatıdağ, Gölpazari ve Bahçecik bitümlü şeyllerinde az oranda kaydedilmiş, diğer sahalarda belirlenmemiştir. Gamaseran Hımmetoğlu ve Hatıdağ bitümlü şeyl örneklerinde yüksek oranlarda, Seyitömer ve Gölpazari örneklerinde orta ve Bahçecik örneğinde ise az oranda tespit edilmiştir. Genel olarak bütün bitümlü şeyl örneklerinde  $C31$ 'in baskın olduğu bir homohopan dağılımı gözlenmektedir (Şekil 9). Seyitömer, Hatıdağ ve Bahçecik bitümlü şeyiller tipik olarak büyük numaralılara doğru bollugu azaldığı bir homohopan dağılımına sahiptir.

**Tablo 4.** m/z 217 kütle kromatogramlarındaki steranlara ait pik tanımlamaları  
**Table 4.** Peak definitions of steranes at m/z 217 mass chromatograms

PİK	BİLESEN
1	$C_{27}, 13\beta(H), 17\alpha(H)$ -Diasteran (20S)
2	$C_{27}, 13\beta(H), 17\alpha(H)$ -Diasteran (20R)
3	$C_{27}, 13\alpha(H), 17\beta(H)$ -Diasteran (20S)
4	$C_{27}, 13\alpha(H), 17\beta(H)$ -Diasteran (20R)
5	$C_{29}, 13\beta(H), 17\alpha(H)$ -Diasteran (20S)
6	$C_{29}, 13\beta(H), 17\alpha(H)$ -Diasteran (20R)
7	$C_{29}, 13\alpha(H), 17\beta(H)$ -Diasteran (20S)
8	$C_{29}, 5\alpha(H), 14\alpha(H), 17\alpha(H)$ - Steran (20S)+ $C_{29}, 13\alpha(H), 17\beta(H)$ -Diasteran (20S)
9	$C_{29}, 5\alpha(H), 14\beta(H), 17\beta(H)$ - Steran (20R)+ $C_{29}, 13\beta(H), 17\alpha(H)$ -Diasteran (20S)
10	$C_{29}, 5\alpha(H), 14\beta(H), 17\beta(H)$ - Steran (20S)+ $C_{29}, 13\alpha(H), 17\beta(H)$ -Diasteran (20R)
11	$C_{29}, 5\alpha(H), 14\alpha(H), 17\alpha(H)$ - Steran (20R)
12	$C_{29}, 13\beta(H), 17\alpha(H)$ -Diasteran (20R)
13	$C_{29}, 13\alpha(H), 17\beta(H)$ -Diasteran (20S)
14	$C_{29}, 5\alpha(H), 14\alpha(H), 17\alpha(H)$ - Steran (20S)
15	$C_{29}, 5\alpha(H), 14\beta(H), 17\beta(H)$ - Steran (20R)+ $C_{29}$
16	$C_{29}, 5\alpha(H), 14\beta(H), 17\beta(H)$ - Steran (20S)
17	$C_{29}, 5\alpha(H), 14\alpha(H), 17\alpha(H)$ - Steran (20R)
18	$C_{29}, 5\alpha(H), 14\alpha(H), 17\alpha(H)$ - Steran (20S)
19	$C_{29}, 5\alpha(H), 14\beta(H), 17\beta(H)$ - Steran (20R)
20	$C_{29}, 5\alpha(H), 14\beta(H), 17\beta(H)$ - Steran (20S)
21	$C_{29}, 5\alpha(H), 14\alpha(H), 17\alpha(H)$ - Steran (20R)
22	$C_{30}, 5\alpha(H), 14\alpha(H), 17\alpha(H)$ - Steran (20S)
23	$C_{30}, 5\alpha(H), 14\beta(H), 17\beta(H)$ - Steran (20R)
24	$C_{30}, 5\alpha(H), 14\beta(H), 17\beta(H)$ - Steran (20S)
25	$C_{30}, 5\alpha(H), 14\alpha(H), 17\alpha(H)$ - Steran (20R)

**Table 5.** m/z 191 Kromatogramlarındaki triterpanlara ait pik tanımlamaları

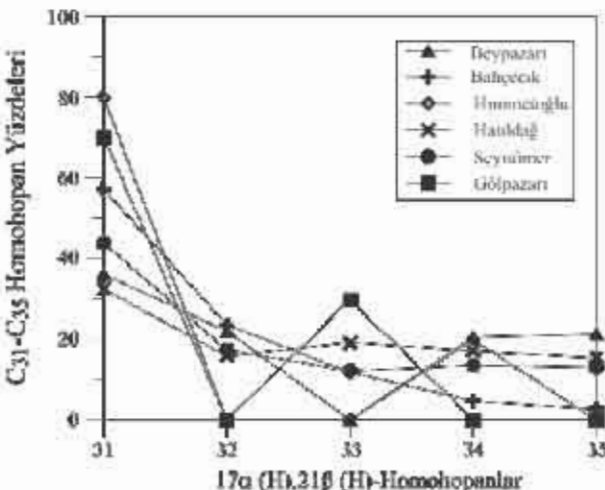
*Table 5. Peak definitions of triterpanes at m/z 191 mass chromatograms*

PİK	BİLEŞEN
1	C <sub>19</sub> Trisiklik Terpan
2	C <sub>20</sub> Trisiklik Terpan
3	C <sub>21</sub> Trisiklik Terpan
4	C <sub>22</sub> Trisiklik Terpan
5	C <sub>23</sub> Trisiklik Terpan (18,19-Bisnor-13β(H),14α(H) Cheilanthanean)
6	C <sub>24</sub> Trisiklik Terpan
7	C <sub>25</sub> (22S+22R) Trisiklik Terpan
8	Tetrasiklik Hopan (Sekohopan)
9	C <sub>26</sub> 22(S) Trisiklik Terpan
10	C <sub>26</sub> 22(R) Trisiklik Terpan
11	C <sub>27</sub> Trisiklik Terpan
12	C <sub>28</sub> Trisiklik Terpan
13	C <sub>27</sub> 18α(H)-22,29,30-Trisnorhopan (Ts)
14	C <sub>27</sub> 17α(H)-22,29,30-Trisnorhopan (Tm)
15	17α(H)-29,30-Bisnorhopan
16	C <sub>29</sub> Trisiklik Terpan
17	17α(H)-28,30-Bisnorhopan
18	C <sub>29</sub> 17α(H),21β(H)-30-Norhopan
19	C <sub>29</sub> Ts (18α(H)-30-Norneohopan)
20	C <sub>30</sub> (17α(H)-Diahopan
21	C <sub>30</sub> 17β(H),21α(H)-30-Normoretan
22	Oleanan
23	C <sub>30</sub> 17α(H),21β(H)-Hopan
24	C <sub>30</sub> 17β(H),21α(H)-Moretan
25	C <sub>31</sub> 17α(H),21β(H)-30-Homohopan (22S)
26	C <sub>31</sub> 17α(H),21β(H)-30-Homohopan (22R)
27	Gamaseran
28	Homomoretan
29	C <sub>32</sub> 17α(H),21β(H)-30,31-Bishomohopan (22S)
30	C <sub>32</sub> 17α(H),21β(H)-30,31-Bishomohopan (22R)
31	C <sub>31</sub> 17α(H),21β(H)-30,31,32-Trishomohopan (22S)
32	C <sub>31</sub> 17α(H),21β(H)-30,31,32-Trishomohopan (22R)
33	C <sub>31</sub> 17α(H),21β(H)-30,31,32,33-Tetrakishomohopan (22S)
34	C <sub>31</sub> 17α(H),21β(H)-30,31,32,33-Tetrakishomohopan (22R)
35	C <sub>31</sub> 17α(H),21β(H)-30,31,32,33,34-Pentakishomohopan (22S)
36	C <sub>31</sub> 17α(H),21β(H)-30,31,32,33,34-Pentakishomohopan (22R)

### 3.3. Organik Madde Tipi

Bir kaya içerisindeki organik maddenin tipi piroliz analizi, GC ve GC-MS analiz sonuçları kullanılarak yorumlanabilmektedir.

Bitümlü şeyl örnekleri için S<sub>2</sub>-TOK (Langford ve Blanc-Valleron, 1990), HI-T<sub>max</sub> (Mukhopadhyay vd., 1995) ve HI-OI (Espitalie vd., 1977) kerojen sınıflama diyagramları kullanılarak kerojen tipleri belirlenmiştir (Şekil 10,11). T<sub>max</sub> değeri kerojenin olgunluğunun yanı sıra organik maddenin tipine ve aktivasyon enerjisine bağlı olarak değişmekte ve dolayısıyla HI-T<sub>max</sub> diyagramı kerojen tipi ayırt etmede kullanılmaktadır (Hunt, 1995). HI ve OI değerleri kerojenin elementel bileşimi ile yakından ilişkilidir ve bu iki parametreyi kullanarak kerojenleri elementel bileşimine göre sınıflayan Van Krevelen diyagramlarını uygulamak mümkündür (Tissot ve Welte, 1984; Hunt, 1995).



**Şekil 9.** Bitümlü şeyl örneklerinden elde edilen özütün doygun fraksiyonlarına ait m/z 191 kitle kromatogramlarından tespit edilen C<sub>31</sub>-C<sub>33</sub>, 17α(H),21β(H)-22S+22R homohopanlara ait % dağılım grafiği

*Figure 9. C<sub>31</sub>-C<sub>33</sub> homohopanes distributions (%) for selected oil shale samples*

S<sub>2</sub>-TOK diyagramında Beypazarı, Gölpazarı, Bahçecik bitümlü şeylleri Tip I, Seytiomer Tip II ve Himmetoğlu, Hatıdağ bitümlü şeyl örnekleri ise Tip I-II alanında yer almaktadır (Şekil 10). HI-T<sub>max</sub> ve HI-OI diyagramlarında bütün sahalara ait örnekler genel olarak Tip I alanında yer almaktır ve sadece Seytiomer, Hatıdağ sahalarına ait birer örnek Tip II alanında yer almaktadır (Şekil 11-a,b). Buna göre bitümlü şeyllerin genel olarak Tip I kerojen içerdikleri, yalnız Seytiomer ve Hatıdağ bitümlü şeylerinin çok az oranda da Tip II kerojen

icerdikleri görülmektedir. Tip I kerojen algal (çoğunlukla gölsel) organik maddeden, Tip II kerojen ise esas olarak denizel fitoplanktonlardan, karasal bitkilerin spor ve polenleri ile ayrıca bazı karasal bitki bileşenlerinden (yaprak ve sap kütün) oluşmaktadır (Waples, 1985; Jacobson, 1991). Seyitömer ve Hatıdağ bümülü seyleri

icin tespit edilen az orandaki Tip II kerojen karasal bitkilerin spor ve pollenleri ile yaprak ve sap kütünlerinden kaynaklanmaktadır. Bu özellik her iki sahada karasal organik madde girdisinin diğer sahalara göre daha baskın olduğunu göstermektedir.

**Table 6.** m/z 217 ve m/z 191 kütle kromatogramlarından hesaplanan biyomarker parametreleri  
**Table 6.** Biomarker parameters calculated from m/z 217 and m/z 191 mass chromatograms

PARAMETRELER	SAHA ADI					
	Beypazarı	Seyitömer	Himmetoğlu u	Hatıdağ	Gölpazarı	Bahçecik
C <sub>30</sub> /(C <sub>30</sub> +C <sub>31</sub> )	% 21,3	% 13	TE	% 15,5	TE	% 2,7
<b>Homohopan İndeksi</b>						
<b>Gamaseran İndeksi</b>						
[Gamaseran/C <sub>30</sub> Hopan]	TE	0.41	0.61	0.47	0.18	0.08
<b>Oleanan İndeksi</b>						
[Oleanan/C <sub>30</sub> Hopan]x100]	TE	TE	TE	% 14	% 7	% 8
<b>C<sub>29</sub>/C<sub>30</sub> Hopan Oranı</b>	0.55	1.58	0.61	0.34	0.24	0.98
<b>C<sub>29</sub>/C<sub>31</sub> Homohopan Oranı</b>	1.04	0.96	TE	0.91	TE	0.59
<b>C<sub>27</sub>,C<sub>28</sub>,C<sub>29</sub></b>						
<b>Steran Bollukları</b>	% 17, 24, 59	% 39, 20, 41	% 49, 11, 40	% 37, 28, 35	% 37, 25, 38	% 20, 22, 58
<b>N. Steran, L. Steran,</b>						
<b>Y.D. Steran</b>	% 37, 54, 9	% 30, 38, 32	% 70, 21, 9	% 70, 22, 8	% 80, 16, 4	% 71, 21, 8
<b>Diasteran/Steran Oranı</b>	61	127	21	9,6	4,3	25
<b>Steran/Hopan Oranı</b>	1,05	3,36	1,62	2,49	1,91	0,89
(C <sub>19</sub> +C <sub>20</sub> )/C <sub>21</sub>						
<b>Trisiklik Terpan Oranı</b>	TE	TE	TE	1,83	TE	2,84
<b>C<sub>29</sub>/C<sub>30</sub></b>						
<b>Trisiklik Terpan Oranı</b>	TE	TE	TE	0,82	TE	TE
<b>20S(20S+20R)</b>						
<b>Steran Oranı (C<sub>29</sub>)</b>	TE	0,45	0,11	0,19	0,04	0,12
<b>ββ/(ββ+αα)</b>						
<b>Steran Oranı (C<sub>29</sub>)</b>	TE	0,51	0,22	0,19	0,16	0,08
<b>22S(22S+22R)</b>						
<b>Homohopan Oranı (C<sub>31</sub>)</b>	0,63	0,4	0,3	0,34	0,51	0,53
<b>Ts/(Ts+Tm)</b>	0,50	0,32	0,25	0,21	0,17	0,19
<b>Moretan/Hopan Oranı</b>	0,21	0,64	0,48	0,22	0,32	0,14

**C<sub>30</sub>/(C<sub>30</sub>+C<sub>31</sub>) Homohopan İndeksi:** C<sub>30</sub>-C<sub>31</sub>/(7α(H), 21β(H)-22S+22R=

(35+36)/(25+26+29+30+31+32+33+34+35+36) piklerinin yüksekliği (m/z 191)

**C<sub>19</sub>/C<sub>20</sub> Homohopan Oranı:** C<sub>19</sub>-C<sub>20</sub> 17α(H), 21β(H)-22S+22R=(35+36)/(33+34) piklerinin yüksekliği (m/z 191)

**Diasteran/Steran Oranı:** C<sub>21</sub>-13β(H), 17α(H)-(20S+20R) diasteran

C<sub>19</sub>-5α(H), 14α(H), 17α(H)-(20S+20R) steran=(1+2)/(8+11) x 100 piklerinin yüksekliği (m/z 217)

**Steran/Hopan Oranı:** C<sub>19</sub>-C<sub>20</sub> 5α(H), 14α(H), 17α(H)-5α(H), 14β(H), 17β(H)-steran (20S+20R); C<sub>19</sub>-C<sub>20</sub> 17α(H), 21β(H)-hopan, C<sub>19</sub>-C<sub>20</sub> 17α(H), 21β(H)-(22S+22R) homohopan=(8+9+10+11+14+15+16+17+18+19+20+21)/(m/z 217) /

(18+23+25+26+29+30+31+32) (m/z 191) piklerinin yüksekliği

**20S(20S+20R) Steran Oranı:** C<sub>19</sub>-5α(H), 14α(H), 17α(H)=18/(18+21) piklerinin yüksekliği (m/z 217)

**ββ/(ββ+αα) Steran Oranı:** C<sub>19</sub>-5α(H), 14α(H), 17α(H)-(20S+20R); C<sub>19</sub>-5α(H), 14β(H), 17β(H)-(20S+20R)=(19+20)/(19+20+18+21) piklerinin yüksekliği (m/z 191)

**22S(22S+22R) Homohopan İndeksi:** C<sub>19</sub>-17α(H), 21β(H)=25/(25+26) piklerinin yüksekliği (m/z 191)

**Moretan/Hopan Oranı:** C<sub>30</sub> moretan ve hopan = 24/23 piklerinin yüksekliği (m/z 191)

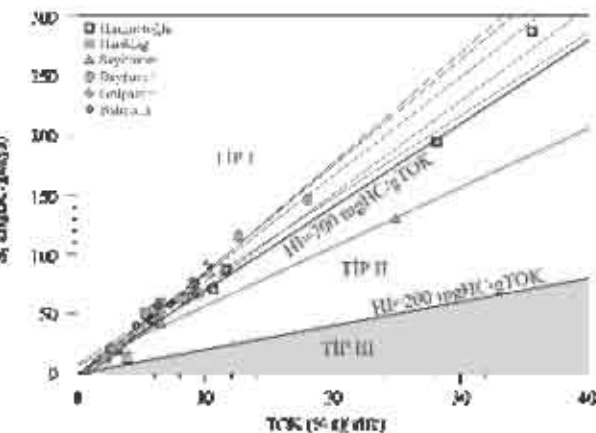
TE: Tavın Edilemedi

Himmetoğlu, Hatıdağ, Gölpazarı ve Bahçecik bitümlü şeyl örneklerine ait gaz kromatogramlarında düşük numaralı n-alkanların baskın olduğu bimodal bir dağılım gözlenmektedir (Şekil 6). Böyle bir dağılım baskın olarak algal çok az oranda da karasal bir organik madde katkısını göstermektedir (Tissot ve Welte, 1984; Waples, 1985). Ayrıca m/z 191 kütle kromatogramlarında kaydedilen ve özellikle Kretase ve daha genç yüksek bitkilerin angiosperminden türediği düşünülen olaenan (Ekweozor ve Udo, 1988; Riva vd., 1988; Waples ve Machihara, 1991; Peters ve Moldowan, 1993; Hunt, 1995) Hatıdağ, Gölpazarı ve Bahçecik bitümlü şeylleri için kaydedilmiş ve oleanan indeksi sırasıyla % 14, % 7 ve % 8 olarak hesaplanmıştır. Bu değerler; Hunt (1995) sınıflamasına göre Hatıdağ bitümlü şeyllerinin az oranda, Gölpazarı ve Bahçecik bitümlü şeyllerinin ise ömensiz (çok az) oranda bir karasal organik madde girdisi içerdigini göstermektedir. Diğer sahalara ait gaz kromatogramlarında oleananın kaydedilmemesi karasal girdinin olmadığını göstermemektedir. Steran/hopan oranı organik madde girdisi hakkında fikir vermektedir. Steranlar başlica alg ve yüksek bitkilerden; hopanlar ise bakteriyal organik maddeden kaynaklanmaktadır (Peters ve Moldowan, 1993). Steran/hopan oranı Beypazarı, Seyitömer, Himmetoğlu, Hatıdağ, Gölpazarı ve Bahçecik bitümlü şeylleri için sırasıyla 1.05, 3.36, 1.62, 2.49, 1.91 ve 0.89 olarak hesaplanmıştır. Bu değerler Bahçecik bitümlü şeylleri hariç diğer sahalar için steranın daha baskın olarak bulunduğu ve algal organik maddeyi göstermektedir. Bahçecik bitümlü şeyllerinde hopanın bol olması diğer sahalara göre bakteriyal organik maddenin daha fazla olduğunu göstermektedir. Genel olarak bitümlü şeyllerin sahip olduğu Tip I kerojen özelliği, düşük karbon numaralarının daha bol bulunduğu bimodal n-alkan dağılımları ve diğer biyomarker verileri baskın olarak algal ve az oranda da karasal organik madde girdisini göstermektedir.

### 3.4. Organik Maddenin Olgunluğu

Organik Maddenin olgunluğu, sedimanter bir havzada çökelmesinden itibaren ısı, basınç, gömülme ve zaman gibi çeşitli etkenler altında fizikokimyasal olarak değişime uğrayıp daha basit hidrokarbon bileşiklerini meydana getirmesi süreci olarak tanımlanmaktadır (Tissot ve Welte, 1984). Organik Maddenin ışışal evrimi, bir çok fiziksel ve kimyasal özelliğini değiştirmekte ve bu özelliklerden yararlanarak organik Maddenin olgunluğu ölçülebilmektedir. Bu çalışmada kerojenin olgunluğu piroliz, GC ve GC-MS analiz sonuçları kullanılarak yorumlanmıştır.

Piroliz analizinde ölçülen  $T_{max}$  değeri ve hesaplanan Üretim İndeksi değerlerinin organik maddenin ışışal gelişimi ile yakından ilişkili olduğu saptanmıştır (Tissot ve Welte, 1984; Waples, 1985). Beypazarı, Seyitömer, Himmetoğlu, Hatıdağ, Gölpazarı ve Bahçecik bitümlü şeylleri için ortalama  $T_{max}$  değerleri sırasıyla ortalama 429, 423, 432, 436, 431 ve 442°C olarak hesaplanmıştır. Tip I kerojen, diğer kerojen tiplerine göre daha geç olgunlaşmakta ve petrol türümüne daha geç başlamaktadır. Tip I kerojen için olgunluk sınırı  $R_o = 0.7$  olarak tespit edilmiş olup (Tissot ve Welte, 1984), bu  $R_o$  değeri yaklaşık 445°C'lik bir  $T_{max}$  değerine karşılık gelmektedir (Waples, 1985). Buna göre tüm bitümlü şeyllerin petrol türedebilecek olgunluğa sahip olmadıkları görülmektedir. Fakat Bahçecik bitümlü şeylleri diğerlerine göre daha yüksek  $T_{max}$  değerine sahip olup, petrol türüm sınırına oldukça yakındır. Tüm bitümlü şeyllere ait Üretim İndeksi değerleri oldukça düşük olup (Tablo 1), bu değerler Üretim İndeksine göre yapılan olgunluk sınıflamasında (Merrill, 1991) olgunlaşmamış özelliğe karşılık gelmektedir.



**Şekil 10.**  $S_2$ -TOK kerojen sınıflama diyagramı (Langford ve Blanc-Valleron, 1990) ve bitümlü şeyl örneklerinin dağılımı

**Figure 10.**  $S_2$  vs Total Organic Carbon (TOC) plots (Langford and Blanc-Valleron, 1990) for selected oil shale samples

Bitüm/TOK oranları Beypazarı, Seyitömer, Himmetoğlu, Hatıdağ, Gölpazarı ve Bahçecik bitümlü şeylleri için ortalama olarak sırasıyla 0.071, 0.043, 0.032, 0.066, 0.034 ve 0.073 olarak hesaplanmış olup, olgunlaşmamış özelliğe yansımaktadır. Beypazarı ve Seyitömer bitümlü şeyl örneklerine ait gaz kromatogramlarında izopirenoidler baskın, Himmetoğlu

ve Hatıdağ bitümlü şeyllerde ise yaygın olarak bulunurlar. Beypazarı, Seyitömer ve Hatıdağ bitümlü şeyllerine ait gaz kromatogramlarında steran ve triterpanların kaydedildiği biyomarker bölgesinde yoğun pikler gözlenmektedir. Bu veriler olgunluğun düşük olduğunu göstermektedir. Ayrıca Hımmetoğlu, Hatıdağ, Gölpaşarı ve Bahçecik bitümlü şeylleri için 1'den belirgin olarak yüksek olan CPI değerleri (Tablo 3) olgunlaşma derecesinin düşük olmasına kaynaklanmaktadır (Peters ve Moldowan, 1993; Hunt, 1995).

20S/(20S+20R) steran oranı ıssız olgunlukla birlikte artmaktadır (Mackenzie vd., 1980; Spiro, 1984; Seifert ve Moldowan, 1981, 1986; Waples ve Machihara, 1991; Peters ve Moldowan, 1993). Bu oran Beypazarı sahası için tayin edilememiş, diğer sahalar için ise henüz denge değerine ulaşmayan oldukça düşük değerler hesaplanmıştır (Tablo 6).

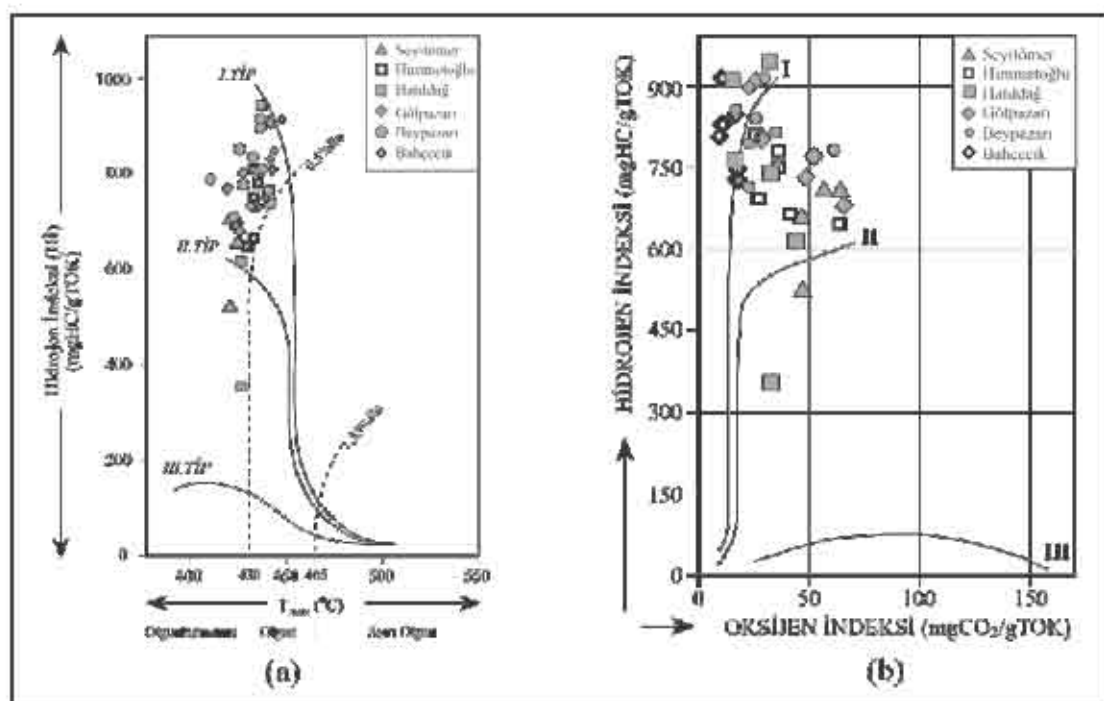
Steranlardan hesaplanan diğer bir ıssız olgunluk parametresi ise  $\beta\beta/(\beta\beta+\alpha\alpha)$  oranı olup, bu oranda olgunlukla artış göstermektedir (Mackenzie vd. 1980; Spiro, 1984; Waples, 1985; Waples ve Machihara, 1991). Beypazarı sahası için bu oran tayin edilememiş, Seyitömer sahası için orta ve diğer sahalar için çok düşük

değerler hesaplanmıştır (Tablo 6). Dönüşüm hiç bir saha için dengeye ulaşmamıştır. Steranlar için hesaplanan bu iki oran da genel olarak tüm bitümlü şeyleler için olgunlaşmamış evreyi yansımaktadır.

22S/(22S+22R) homohopan oranı olgunlukla artmaktadır (Waples ve Machihara, 1991; Hunt, 1995). Homohopan oranı için denge değeri 0.57-0.62 olarak tespit edilmiştir (Seifert ve Moldowan, 1986). Bu oran Beypazarı haricindeki sahalar için denge değerine ulaşmamış olup, olgunlaşmamış evreyi yansımaktadır.

$T_s/(T_s+T_m)$  oranı da olgunluğa bağlı olarak artmaktadır (Seifert ve Moldowan, 1978; Hunt, 1995), moretan/hopan oranı ise azalmaktadır (Kvenvolden ve Simoneit, 1990; Seifert ve Moldowan, 1980; Grantham, 1986). Genel olarak bütün bitümlü şeyl örnekleri düşük bir  $T_s/(T_s+T_m)$  oranı ve 0.15'in üzerinde hesaplanan moretan/hopan oranına (Waples ve Machihara, 1991) göre olgunlaşmamışlardır.

Sonuç olarak piroliz, GC ve GC-MS analizleri ile elde edilen olgunluk verilerine göre, bütün şeyl örneklerin hidrokarbon oluşumu için yeterli düzeyde olgunlaşmadıkları saptanmıştır.



**Sekil 11.** (a) Hİ-Tmax kerojen sınıflama diyagramı (Mukhopadhyay vd., 1995); (b) Hİ-Oİ kerojen sınıflama diyagramı (Espitalie vd., 1977) ve bitümlü şeyllerin bu diyagamlardaki dağılımları

**Figure 11.** (a) HI vs  $T_{max}$  plot (Mukhopadhyay et al., 1995); (b) HI vs OI plot (Espitalie et al., 1977) for selected oil shale samples

### 3.5. Ortamsal Yorumlama

Organik jeokimyasal analiz verilerinden yararlanarak bitümlü şeyllerin çökelme ortamları ve oluşum koşulları yorumlanmıştır. Buna göre, biyomarkerler organik maddenin çökeldiği ortamın türü, çökelme ortamında var olan koşullar ve organik maddeyi içeren kayacın litolojisi hakkında bilgi sağlamaktadır.  $17\alpha(H)$ -homohopan dağılımları örneğe önemli oranda değişmekte ve paleoortam hakkında bilgi sağlamaktadır (Waples ve Machihara, 1991; Wang ve Philp, 1997). Bitümlü şeyl örneklerine ait  $m/z$  191 kütle kromatogramlarında düşük numaralıların baskın olduğu bir homohopan dağılımı gözlenmekte (Şekil 8,9) ve böyle bir dağılım genellikle suboksik bir çökelme ortamına karşılık gelmektedir (Hunt, 1995). Ayrıca özellikle Bahçecik, Hatıdağ ve Seyitömer bitümlü şeyllerinin gösterdiği  $C_{31}$ 'den  $C_{35}$ 'e doğru pik yüksekliğinde düzenli bir azalmaya sahip homohopan dağılımları kırıntıları fasyesler için tipiktir (Waples ve Machihara, 1991). Pr/Ph oranı çökelme ortamının redoks potansiyelini yansıtmaktadır (Didky ve diğ., 1978; Peters ve Moldowan, 1993). Beypazari, Seyitömer, Himmetoğlu, Hatıdağ, Gölpazarı ve Bahçecik bitümlü şeylleri için Pr/Ph oranı sırasıyla 0.14, 0.17, 1.47, 0.93, 1.54 ve 1.52 olarak hesaplanmıştır. 1'den düşük Pr/Ph oranına sahip Beypazari, Seyitömer ve Hatıdağ bitümlü şeyllerinin anoksik bir ortamda çökeldiği ortaya çıkmaktadır. Homohopan ve Pr/Ph verileri birlikte değerlendirildiğinde Himmetoğlu, Gölpazarı ve Bahçecik bitümlü şeyllerinin suboksik bir ortamın ürünü oldukları düşünülmektedir.

Karbonat ve kırıntılı litolojiyi ayırmak için kullanılan  $C_{29}/C_{30}$  hopan oranı (Waples ve Machihara, 1991; Riva vd., 1989) Beypazari, Seyitömer, Himmetoğlu, Hatıdağ, Gölpazarı ve Bahçecik bitümlü şeylleri için sırasıyla 0.55, 1.58, 0.61, 0.34, 0.24 ve 0.98 olarak hesaplanmış olup, bu değerler Seyitömer hariç diğer sahalar için kırıntılı kayayı işaret etmektedir. Seyitömer bitümlü şeyllerine ait 1'den yüksek olan  $C_{29}/C_{30}$  oranı bu bitümlü şeyllerin yüksek oranda karbonat bileşeni içerdigini göstermekte ve literatürde Seyitömer bitümlü şeyllerinin bitümlü marn olarak tanımlanması bu durumu desteklemektedir.

Yüksek tuzluluğa sahip göl ve deniz tortuları için tipik bir biyomarker olan gamaseran (Waples ve Machihara, 1991; Connan, 1993; Peters ve Moldowan, 1993; Hunt, 1995) Himmetoğlu, Hatıdağ bitümlü şeylleri için yüksek, Seyitömer, Gölpazarı bitümlü şeylleri için orta ve Bahçecik bitümlü şeylleri için az oranda kaydedilmiştir. Gamaseran İndeksi ise sırasıyla 0.62, 0.47, 0.41, 0.18 ve 0.08 olarak hesaplanmıştır. Ayrıca tuzluluğun diğer bir kanıtı olan pregnanlar ise Bahçecik ve Hatıdağ bitümlü şeyllerinde iz miktarında. Seyitömer, Himmetoğlu ve Gölpazarı bitümlü şeyllerinde orta değerde ve Beypazari bitümlü şeyllerinde ise yüksek oranda kaydedilmiştir (Şekil 7). Gerek gamaseran ve gerekse de pregnan verileri Seyitömer, Himmetoğlu, Hatıdağ ve Gölpazarı bitümlü şeyllerinin tuzlu bir ortamda, Bahçecik bitümlü şeyllerinin muhtemelen az tuzlu bir ortamda çökeldiğini göstermektedir. Beypazari bitümlü şeyllerinde gamaseranın kaydedilmemesine rağmen yüksek orandaki pregnanlar ve çok düşük Pr/Ph oranı çökelme ortamının tuzlu olabileceğini göstermektedir (Peters ve Moldowan, 1993).

$m/z$  217 kütle kromatogramlarında denizel ortamı karakterize eden  $C_{30}$  steran yalnızca iz miktarında Seyitömer bitümlü şeyl örneği için kaydedilmiştir.  $C_{30}$  steranın varlığı denizel ortamın yada denizel bir katığının kesin delili olup, bulunmaması durumu ise kesin olmamakla birlikte genellikle denizel olmayan bir çökelme ortamına karşılık gelmektedir (Moldowan vd., 1985; Peters vd., 1986; Hunt, 1995; Mann vd., 1998; Peters ve Moldowan, 1993).  $C_{25}/C_{26}$  trisiklik terpan oranı denizel ortamlar ile denizel olmayan ortamları ayırt etmede kullanılmaktadır (Burwood vd., 1992; Hanson, 1999; Hanson vd., 2000). 1'den büyük değerler denizel ortamları, küçük değerler ise denizel olmayan ortamları ifade etmektedir. Bu oran Hatıdağ bitümlü şeyl örneği için 0.82 olarak hesaplanmıştır. Diğer sahalara ait bitümlü şeyller için  $C_{25}$  trisiklik terpan kaydedilmediği için oran hesaplanamamıştır. Hatıdağ bitümlü şeylleri için hesaplanan 1'den düşük oran ve diğer sahalar için  $C_{25}$  trisiklik terpanın kaydedilmeyip  $C_{26}$  trisiklik terpanın varlığı bütün bitümlü şeyllerin denizel olmayan bir çökelme ortamının ürünü olduğunu göstermektedir. Bu sahalarda yapılan önceki çalışmalarda bitümlü şeyllerin litolojik ve fosil verilerine dayanılarak gölsel ortamlarda çökeldikleri

ifade edilmiştir (Talu, 1967; Yantlmaz vd., 1980; Şengüler vd., 1982; Taka ve Şener, 1988; Şener ve Şengüler, 1992b, 1997; Özçelik 2002). Bu çalışmada elde edilen biyomarker ve diğer veriler de gölsel bir çökelme ortamına işaret etmektedir. Sadece Seyitömer bitümlü şeyller için muhtemelen denizel bir etkiye maruz kalan gölsel bir çökelme ortamından bahsetmek mümkündür.

### 3.6. Hidrokarbon Türetme Potansiyeli

$S_1$  ve  $S_2$  değerlerinin toplanmasıyla hesaplanan Potansiyel Ürün (PÜ) parametresi bir kayanın hidrokarbon türetme potansiyeli hakkında fikir vermektedir (Tissot ve Welte, 1984). Beypazarı, Seyitömer, Himmetoğlu, Hatıdağ, Gölpazarı ve Bahçecik bitümlü şeyl örneklerine ait Potansiyel Ürün değerleri sırasıyla 16.53-153.38, 16.86-114.77, 20.94-301.51, 13.48-64.02, 14.53-95.6 ve 40.71-78.86 mgHC/gkaya arasında değişmekte olup, ortalama değerler ise 78.99, 50.21, 124.07, 37.49, 43.98 ve 59.54 mgHC/gkaya olarak hesaplanmıştır. Genel olarak bütün sahalara ait bitümlü şeyller oldukça yüksek Potansiyel Ürün değerine sahiptir. Fakat Himmetoğlu bitümlü şeyller diğerlerine göre oldukça yüksek değerler göstermektedir. Yüksek Potansiyel Ürün değerleri bütün sahalara ait bitümlü şeyllerin oldukça yüksek bir hidrokarbon türetme potansiyeline sahip olduğunu göstermektedir.

Beypazarı, Seyitömer, Himmetoğlu, Hatıdağ, Gölpazarı ve Bahçecik bitümlü şeyl örneklerine ait ortalama Hidrojen İndeksi (H<sub>I</sub>) değerleri sırasıyla 822, 648, 723, 720, 781 ve 812 mgHC/gTOK olarak hesaplanmıştır. Böyle yüksek H<sub>I</sub> değerleri (Tip I kerojen) bitümlü şeyllerin petrol türetelebilcek bir potansiyele sahip olduğunu göstermektedir (Merrill, 1991; Mann ve dig. 1998). Ayrıca  $S_2/S_3$  oranı bütün sahalar için oldukça yüksek değerde tespit edilmiş ve 5'den yüksek bu oran yine petrol türetelebilir bir özelliğe işaret etmektedir (Merrill, 1991).

Sonuç olarak, bütün sahalara ait bitümlü şeyllerin yüksek değerde hidrokarbon potansiyeline sahip oldukları, ancak olgunlaşmadıkları için petrol türetemedikleri anlaşılmıştır.

### 4. Tartışma ve Sonuçlar

Beypazarı, Seyitömer, Himmetoğlu, Hatıdağ, Gölpazarı ve Bahçecik bitümlü şeyllerinin ortalama TOK değerleri sırasıyla % 8.91, 9.17, 15.81, 4.75, 5.17 ve 7.15 olarak tespit edilmiştir. Bu TOK değerleri bitümlü şeyllerin oldukça yüksek miktarda organik madde içerdığını göstermektedir.

Potansiyel Ürün değerleri Beypazarı, Seyitömer, Himmetoğlu, Hatıdağ, Gölpazarı ve Bahçecik bitümlü şeyller için sırasıyla 78.99, 50.21, 124.07, 37.49, 43.98 ve 59.54 mgHC/gkaya olarak hesaplanmıştır. Bu değerlere göre, bitümlü şeyllerin yüksek potansiyele sahip kaynak kayalar olduğu görülmektedir.

H<sub>I</sub>-Ol, H<sub>I</sub>-T<sub>max</sub> ve S<sub>2</sub>-TOK kerojen tipi sınıflama grafiplerinde Beypazarı, Himmetoğlu, Gölpazarı ve Bahçecik bitümlü şeyllerinin Tip I kerojen içerdikleri; Seyitömer ve Hatıdağ bitümlü şeyllerinin ise baskın olarak Tip I çok az oranda da Tip II kerojen içerdikleri tespit edilmiştir. Bu kerojen tipleri algal organik maddenin baskın olduğunu işaret etmektedir.

Himmetoğlu, Hatıdağ, Gölpazarı ve Bahçecik bitümlü şeyllerine ait gaz kromatogramlarında düşük karbon numaralı n-alkanların daha baskın olduğu bimodal dağılım, bu bitümlü şeyllerin baskın olarak algal, çok az oranda da karasal organik maddenin olduğunu göstermektedir. Hatıdağ, Gölpazarı ve Bahçecik bitümlü şeyller için Oleanan İndeksi sırasıyla % 14, 7 ve 8 olarak hesaplanmış ve bu veriler yine çok az bir karasal organik madde girdisinin olduğunu işaret etmektedir.

Piroliz analizinde T<sub>max</sub> değerleri Beypazarı, Seyitömer, Himmetoğlu, Hatıdağ, Gölpazarı ve Bahçecik bitümlü şeyller için sırasıyla 429, 423, 432, 436, 431 ve 442°C olarak tespit edilmiştir. Bu değerlere göre Tip I kerojen içeren bitümlü şeylerin tümü için henüz hidrokarbon türetelebilcek olgunluğa sahip olmadıkları söylenebilir.

Beypazarı ve Seyitömer bitümlü şeyllerine ait gaz kromatogramlarında izopirenoidler baskın olarak

bulunmaktadır ve biyomarker bölgesinde belirgin pikler içermektedir. Bu özellikler bu bitümlü şeyllerin olgunlaşmamış olduğuna işaret etmektedir.

Himmetoğlu, Hatıdağ, Gölpaşarı ve Bahçecik bitümlü şeylleri için CPI değerleri 1'den belirgin olarak büyükür. Bu CPI değerleri bitümlü şeyllerin olgunlaşmamış organik madde içerdiklerini göstermektedir. Ayrıca Hatıdağ bitümlü şeyllerde izoprenoidlerin bol olarak bulunması ve biyomarker bölgesindeki pik yoğunluğu yine bu bitümlü şeyllerin olgunlaşmamış organik madde içerdiklerine işaret etmektedir. Himmetoğlu bitümlü şeyllerde de baskın olarak izoprenoidler kaydedilmiş olup, bu da yine bu bitümlü şeyllerin olgunlaşmadığını göstermektedir. Organik maddenin olgunluğu hakkında fikir veren 20S/(20S+20R) steran ( $C_{29}$ ),  $\beta\beta/\beta\beta+\alpha\alpha$  steran, 22S/(22S+22R) homohopan ( $C_{31}$ ), Ts/(Ts+Tm) ve moretan/hopan oranları yine bu bitümlü şeyllerin olgunlaşmamış organik madde içerdigini doğrulamaktadır.

Beypazarı, Seyitömer, Himmetoğlu, Hatıdağ, Gölpaşarı ve Bahçecik bitümlü şeyllerine ait Pr/Ph oranları sırasıyla 0.14, 0.17, 1.47, 0.93, 1.54 ve 1.52 olarak hesaplanmıştır olup, bu değerler Beypazarı, Seyitömer ve Hatıdağ bitümlü şeyllerinin anoksik bir ortamda; Himmetoğlu, Gölpaşarı ve Bahçecik bitümlü şeyllerinin ise suboksik bir ortamda çökeldiğini göstermektedir.

Seyitömer, Himmetoğlu, Hatıdağ, Gölpaşarı ve Bahçecik bitümlü şeylleri için Gamaseran İndeksi sırasıyla 0.41, 0.61, 0.47, 0.18, ve 0.08 olarak hesaplanmıştır. Tuzluluğun diğer bir delili olan pregnanlar ise Bahçecik ve Hatıdağ bitümlü şeyllerde iz miktarında, Beypazarı bitümlü şeyllerinde ise önemli oranda kaydedilmişlerdir. Diğer sahalarda ise pregnanlar orta derecede mevcuttur. Bu veriler Seyitömer, Himmetoğlu, Hatıdağ ve Gölpaşarı bitümlü şeyllerinin tuzlu bir çökelme ortamına ait olduğunu göstermektedir. Beypazarı bitümlü şeyllerde önemli oranda kaydedilen pregnanlar ve çok düşük değerdeki Pr/Ph oranı Beypazarı bitümlü şeyllerinin nütemelen tuzlu bir ortamda çökeldiğini işaret etmektedir. Bahçecik bitümlü şeyllerde ise gamaseran az oranda kaydedilmiştir. Pregnanlar da iz miktarda

gözlenmektedir. Dolayısıyla Bahçecik bitümlü şeylleri için muhtemelen az tuzlu bir çökelme ortamından bahsetmek mümkündür.

Denizel bir ortamın ya da denizel bir katının kesin delili olan  $C_{30}$  steranlar yalnızca Seyitömer bitümlü şeyllerde ve çok az oranda kaydedilmiştir. Dolayısıyla Seyitömer bitümlü şeyllerinin denizel ortamla bağlantılı olduğu ortaya çıkmaktadır.

Beypazarı bitümlü şeylleri; anoksikliği yüksek, muhtemelen tuzlu ve çoğunlukla algal organik madde, çok az oranda da karasal organik madde girdisinin olduğu görsel bir çökelme ortamının ürünüdürler. Seyitömer bitümlü şeylleri; anoksikliği yüksek, tuzlu ve çoğunlukla algal organik madde ve çok az oranda karasal organik madde girdisinin olduğu, muhtemelen zaman zaman denizel etkiye maruz kalan görsel bir ortamda çökelmişlerdir. Himmetoğlu bitümlü şeylleri; suboksik, tuzluluk oranı yüksek ve çoğunlukla algal organik madde ve çok az oranda karasal organik madde girdisinin olduğu görsel bir ortamda çökelmişlerdir. Hatıdağ bitümlü şeylleri; anoksik, tuzluluk oranı yüksek ve çoğunlukla algal organik madde ve çok az oranda karasal organik madde girdisinin olduğu görsel bir ortamda çökelmişlerdir. Gölpaşarı bitümlü şeylleri; suboksik, tuzlu ve çoğunlukla algal organik madde ve çok az oranda karasal organik madde girdisinin olduğu görsel bir ortamda çökelmiştir. Bahçecik bitümlü şeylleri; suboksik, muhtemelen az tuzlu çoğunlukla algal organik madde ve çok az oranda karasal organik madde girdisinin olduğu görsel bir ortamda çökelmiştir.

Bütün bu verilere göre, Kuzeybatı Anadolu'daki bitümlü şeyle organik jeokimyasal özellikleri, çökelme koşulları ve ortamları bakımından benzerdirler.

## Teşekkür

Bu çalışmanın gerçekleşmesine maddi destek sağlayan KTÜ Bilimsel Araştırma Projeleri Komisyonu Başkanlığına ve AAPG Vakfına, analizleri yapan TPAO Araştırma Grubu Jeokimya Laboratuvarı çalışanlarına ve yardımlarını esirgemeyen Yük.Müh. Haluk İZTAN (TPAO) ile bazı karot örneklerinin alınmasına izin veren MTA Genel Müdürlüğüne ve MTA Karot Bankası sorumlusu Jeo.Müh. Sadettin DİDİK'e teşekkür ederiz.

## KAYNAKLAR

- Burwood, R., Leplat, P., Mycke, B. ve Paulet, J., 1992. Rifted Margin Source Rock Depositon: A Carbon Isotope and Biomarker Study of a West African Lower Cretaceous "Lacustrine" Section. *Organic Geochemistry*, 19, 41-52.
- Connan, J., 1993. Molecular Geochemistry in Oil Exploration. In: *Applied Petroleum Geochemistry* (M.L., Bordenave, ed.). Paris.
- Didyk, B.M., Simoneit, B.R.T., Brassell, S.C. ve Eglinton, G., 1978. Organic Geochemical Indicators of Paleoenvironmental Conditions of Sedimentation. *Nature*, 272, 216-222.
- Ekweozor, C.M. ve Udo, O.T., 1988. The Oleananes: Origin, Maturation and Limits of Occurrence in Southern Nigeria Sedimentary Basins. In: *Advances in Organic Geochemistry 1987* (L. Mattavelli ve L. Novelli, eds.). Oxford. Pergamon Press, 131-140.
- Espitalie, J., Madec, M. ve Tissot, B., 1977. Source Rock Characterization. 9<sup>th</sup> Offshore Technology Conference, 439-444.
- Grantham, P.J., 1986. Sterane Isomerisation and Moretane/Hopane Ratios in Crude Oils Derived from Tertiary Source Rocks. *Organic Geochemistry*, 9, 293-304.
- Hanson, A.D., 1999. Organic Geochemistry and Petroleum Geology. Tectonics and Basin Analysis of Southern Tarim and Northern Qaidam Basin, Northwest China. Ph.D. Dissertation, Stanford University, Stanford, California, 388 p.
- Hanson, A.D., Zhang, C., Moldowan, J.M., Liang, D.G. ve Zhang, B.M., 2000. Molecular Organic Geochemistry of the Tarim Basin, Northwest China. *AAPG Bulletin*, 84, 1109-1128.
- Hunt, J.M., 1995. Petroleum Geochemistry and Geology. W.H. Freeman and Company, New York. 743 p.
- Jacobson, S.R., 1991. Petroleum Source Rocks and Organic Facies. In: *Source and Migration Processes ve Evaluation Techniques* (R.K. Merrill, ed.), 3-11, Oklahoma.
- Kara Gülbay, R., 2004. KB Anadolu'daki Bitümlü Seyllerin Organik Jeokimyasal Özellikleri, Çökelme Ortamları ve Hidrokarbon Potansiyeli. KTÜ, FBE, Doktora Tezi, 208 s.
- Trabzon.
- Kvenvolden, K.A. ve Simoneit B.R.T., 1990. Hydrothermally derived petroleum examples from Guaymas Basin, Gulf of California, and Escanaba Trough, northeast Pacific Ocean, *AAPG*, 74, 223-237.
- Langford, F.F. ve Blanc-Valleron, M.M., 1990. Interpreting Rock-Eval Pyrolysis Data Using Graphs of Pyrolyzable Hydrocarbons vs Total Organic Carbon. *AAPG Bulletin*, 74, 799-804.
- Mackenzie, A.S., Patience, R.L., Maxwell, J.R., Vandenbroucke, M. ve Durand, B., 1980. Molecular Parameters of Maturation in the Toarcian Shales, Paris Basin-1. Changes in the Configurations of Cyclic Isoprenoid Alkanes and Triterpanes. *Geochimica Cosmochimica Acta* 44, 1709-1721.
- Mann, U., Korkmaz, S., Boreham, C.J., Hertle, M., Radke, M. ve Wilkes, H., 1998. Regional Geology, Depositional Environment and Maturity of Organic Matter of Early to Middle Jurassic Coals, Coal Shales and Claystones from the Eastern Pontides, NE Turkey. *International Journal of Coal Geology*, 37, 257-286.
- Merrill, R.K., 1991. Source and Migration Processes ve Evaluation Techniques (R.K. Merrill, ed.), 213 p., Oklahoma.
- Moldowan, J.M., Seifert, W.K. ve Gallegos, E.J., 1985. Relationship Between Petroleum Composition and Depositional Environment of Petroleum Source Rocks. *AAPG Bulletin*, 69, 1255-1268.
- Mukhopadhyay, P.K., Wade, J.A. ve Kruse, M.A., 1995. Organic Facies and Maturation of Jurassic/Cretaceous Rocks, and Possible Oil-Source Rock Correlation Based on Pyrolysis of Asphaltenes, Scotian Basin, Canada. *Organic Geochemistry*, 22(1), 85-104.
- Özçelik, O., 2002. Beypazarı (Ankara) Kuzeyinde Miyosen Yaşı Bitümlü Birimlerin Organik Jeokimyasal Özellikleri. *TJB*, 45, 1.
- Peters, K.E. ve Moldowan, J.M., 1993. *The Biomarker Guide: Interpreting Molecular Fossils in Petroleum and Ancient Sediments*. Englewood Cliffs, N.J.: Prentice-Hall.
- Peters, K.E., Moldowan, J.M., Schoell, M. ve Hempkins, W.B., 1986. Petroleum Isotopic and Biomarker Composition related to Source Rock Organic Matter and Depositional

- Environment, *Organic Geochemistry*, 10, 17-27.
- Riva, A., Caccialanza, P.G. ve Quagliaroli, F., 1988. Recognition of 18(H) olefins in several crudes and Tertiary-Upper Cretaceous sediments. Definition of a new maturity parameters. In: *Advances in Organic Geochemistry 1987* (L.Mattavelli ve L.Novelli, eds.), Oxford, Pergamon Press, 671-675.
- Riva, A., Riolo, J., Mycke, B., Ocampo, R., Callot, H.J., Albrecht, P. ve Nali, M., 1989. Molecular Parameters in Italian Carbonate Oils: Reconstruction of Past Depositional Environments; 14th International Meeting on Organic Geochemistry, Paris, September 18-22, Abstracts, Number 335.
- Sarı, A., 1985. Himmetoğlu Köyü (Göynük-Bolu) Linyit Sahasının Ekonomik Jeolojisi, AÜ, FBE, Yüksek Lisans Tezi, Ankara.
- Sarı, A., 1999. Himmetoğlu Formasyonu (Göynük-Bolu) Bitümlü Şeyllerinin Organik Jeokimyasal İncelemesi. 1. Batı Anadolu Enerji Sempozyumu, 8-14 Mart, İzmir.
- Seifert, W.K. ve Moldowan, J.M., 1978. Applications of Steranes, Terpanes, and Monoaromatics to the Maturation, Migration, and Source of Crude Oils. *Geochimica et Cosmochimica Acta*, 42, 77-95.
- Seifert, W.K. ve Moldowan, J.M., 1980. The Effect of Thermal Stress on Source Rock Quality as Measured by Hopane Stereochemistry. In: *Advances in Organic Geochemistry* (A.G. Douglas ve J.R. Maxwell, eds.), Oxford, Pergamon Press, 229-237.
- Seifert, W.K. ve Moldowan, J.M., 1981. Paleoconstruction by Biological Markers. *Geochimica Cosmochimica Acta*, 45, 783-794.
- Seifert, W.K. ve Moldowan, J.M., 1986. Use of Biological Markers in Petroleum Exploration. In: *Methods in Geochemistry and Geophysics* (P.B. Johns, ed.), 24, 261-290.
- Spiro, B., 1984. Effects of the Mineral Matrix on the Distribution of Geochemical Markers in Thermally Affected Sedimentary Sequences. *Organic Geochemistry*, 6, 543-559.
- Şener, M. ve Şengüler, İ., 1991. Beypazarı Bitümlü Marnlarının Jeolojisi ve Ekonomik Kullanım Alanları, Rapor No: 9202, MTA, Ankara.
- Şener, M. ve Şengüler, İ., 1992a. Seyitomer Bitümlü Marnlarının Jeolojisi, Kullanım Olanakları ve Akışkan Yataktaki Yakma Test Sonuçları, Rapor No: 9441, MTA, Ankara.
- Şener, M. ve Şengüler, İ., 1992b. Hatıdağ (Bolu-Göynük) Bitümlü Şeyl Sahasının Jeolojisi ve Teknolojik Kullanım Olanakları, Rapor No: 9445, MTA, Ankara.
- Şener, M., Şengüler, İ., ve Kök, M.V., (1994). Geological Consideration for the Economic Evaluation of Oil Shale Deposits in Turkey, *Fuel*, 74, 7, 999-1003.
- Şener, M. ve Şengüler, İ., 1997. Geological, Mineralogical Characteristics of Oil Shale Bearing Deposits in the Hatıdağ Oil Shale Field, *Fuel*, 77, 8, 871-880.
- Şengüler, İ., İpeksever, M. ve Sümer, A., 1982. Seyitomer (Kütahya) Bitümlü Marn Sahasının Jeolojisi ve Ekonomik Olanakları, Rapor No: 7324, MTA, Ankara.
- Taka, M. ve Şener, M., 1988. Himmetoğlu (Göynük-Bolu) Sahasının Bitümlü Şeyl Olanakları ve Sondajları, Rapor No: 8533, MTA, Ankara.
- Talu, S., 1967. Bahçecik (İzmit) Bitümlü Şeylleri, MTA Rapor No: 4667, Ankara.
- Tissot, B.P. ve Welte, D.H., 1984. *Petroleum Formation and Occurrence*. Springer Verlag, Berlin, p.694.
- Wang H.D. ve Philp, R.P., 1997. Geochimical Study of Potential Source Rocks and Crude Oils in the Anadorka Basin, Oklahoma, AAPG Bulletin, 81, 249-275.
- Waples, D.W., 1985. *Geochemistry in Petroleum Exploration*. D.Reidel Publ.Comp., Boston, p.223.
- Waples, D.W. ve Machihara, T., 1991. Biomarkers for Geologists-A practical Guide to the Application of Steranes and Triterpanes in Petroleum, AAPG Methods in Exploration, No:9, 85 p.
- Yanılmaz, E., İpeksever, M. ve Aslan, N., 1980. Gölbaşı (Bilecik) Bitümlü Şist Sahası Hakkında Rapor, Rapor No: 7060, MTA, Ankara.

---

Makale Geliş Tarihi : 10 Mart 2005  
Kabul Tarihi : 19 Temmuz 2005

Received : March 10, 2005  
Accepted : July 19, 2005